

第14回共同利用期間(2004B)において実施された利用研究課題

財団法人高輝度光科学研究センター
利用業務部

第14回共同利用期間(2004B)は、平成16年9月から平成16年12月にかけて実施されました。実施前の予定では2004B利用期間を平成16年9月から平成17年2月までとしておりましたが、平成16年8月末から9月初めの台風16号および18号による蓄積リング棟屋根損傷の本格修理日程を平成17年1月から3月まで確保するために最初に記した期間に変更されました。修理期間中の平成17年1月から3月までは蓄積リングの運転は行われなくなりましたので、実施前の予定で平成17年1月から2月に割り振られていた2004B期課題は、実施前の予定で平成16年10月から12月の間でユーザータイムとなっていない日に振り替える日程調整を行いました。変更後の全ユーザータイムは当初予定の全ユーザータイムを上回るように確保いたしました。日程調整がつかず6課題をキャンセルせざるを得ませんでした。また、日程調整で当初予定シフト数が確保できなかった12課題は、合計60シフト減で実施して頂きました。この日程調整で当初予定通り課題を実施できなかった一部ユーザーの皆様には、多大なご迷惑をおかけいたしましたことを改めてお詫びいたします。

共同利用研究課題としては、一般利用研究課題に加えて、重点研究課題が実施されました。この期間に実施された共同利用研究課題は全部で554件、総実施シフト数は4724シフトでした。本期間において実施された共同利用研究課題の内訳は次の通りです。

[一般利用研究課題]

通常利用課題	370件
分科会留保シフト課題	16件
(内訳は、生命科学分科8件、及び産業利用分科8件)	
緊急課題	2件
成果専有利用課題	23件
(うち、時期指定利用8件、産業利用分科留保シフト課題2件)	
長期利用継続課題	6件

(2002A期から開始1件、2002B期から開始1件、2003A期から開始1件、2003B期から開始2件、2004A期から開始1件)

長期利用新規課題 0件

[重点研究課題]

重点ナノテクノロジー支援課題	54件(504シフト)
重点タンパク500課題	54件(207シフト)
重点トライアルユース課題	21件(105シフト)
(うち重点トライアルユース留保シフト課題6件)	
重点パワーユーザー課題(継続)	5件(177シフト)
重点戦略課題	3件(57シフト)

今期の共同利用では、R&Dビームライン3本を含む共用ビームライン25本、及び原研・理研ビームラインのうち8本と物材機構・物質研究所のビームライン1本を利用しました。

長期利用課題は、2000B期から特定利用課題として開始し、2003B期から名称変更した制度で、3年にわたってSPring-8を計画的に利用する制度です。今期においては新たに開始されたものはなく、前期からの継続6件が実施されました。長期利用課題のうち1課題が、2本のビームラインを利用しました。

今期(2004B期)において専用施設で実施された課題は146件(暫定値)でした。前期(2004A期)の専用施設で実施された課題数は前回163件(暫定値)と報告しましたが、その後確定値として161件と変更しました。これは、研修会が2回開催されましたのでそれを除いたためです。専用施設で稼働しているビームラインは合計9本です。専用施設で実施された課題の内訳は、通常利用が120件で、成果専有利用が26件となっています。成果専有利用の内訳は、前期(2004A)は創薬産業ビームライン(BL32B2)で24件、兵庫県ビームライン(BL24XU)で2件でしたが、今期(2004B)は創薬産業ビームライン(BL32B2)で22件、兵庫県ビームライン

(BL24XU)で3件、産業界ビームライン(BL16XU)で1件でした。

今期(2004B)の利用者数は、共同利用では3,546人、専用施設利用では1,154人でした。この数はいずれも延べの人数です。この結果、これまでの14回の共同利用で実施された合計課題数は5,933件、合計利用者数は37,415人となりました。専用施設で実施された合計課題数は1,385件(暫定値)、合計利用者数は11,174人となりました。専用施設利用を合わせた利用状況を表1及び図1に示します。なお、表1における専用施設の利用課題数は、第10回共同利用期間(2000B)から利用報告書の出ていない研修会等の課題を省いたものとしています。これにより、専用施設の利用課題数は、利用報告書の出ている成果非専有課題数と成果専有課題数の和となっています。

今期(2004B)の共同利用研究課題について、実験責任者の所属する機関別に研究分野の分布を表2に示します。本表では、実施シフト数も合わせて示しています。共同利用研究課題の平均シフト数は今期(2004B)が8.5で、前期(2004A)の9.2、

前々期(2003B)の8.8と比較して少し減少しています。しかしながら、機関別、分科会単位での研究分野別の割合はあまり大きな変化はなく、今後新しい共用ビームラインができるまでは提供できる「のベシフト数」に見合った課題数が実施されるものと思われます。但し、重点研究課題のうち課題を公募しない重点パワーユーザー課題や一部の重点戦略課題が1課題あたりで多くのシフト数を使用する場合には、一般課題に割り当てる「のベシフト数」は少なくなりますので状況が変わる可能性があります。

最後に、2004B期で実施された共同利用課題の一覧を表3-1～表3-6に示します。一般共同利用課題の一覧は表3-1、重点ナノテクノロジー支援課題の一覧は表3-2、重点タンパク500課題の一覧は表3-3、重点トライアルユース課題の一覧は表3-4、重点パワーユーザー課題の一覧は表3-5、及び重点戦略課題の一覧は表3-6にそれぞれ示します。また、表3のシフト数は第10回共同利用期間(2002B)から実施シフト数としています(それ以前は、配分シフト数としていました)。

表1 共同利用及び専用施設利用の推移

利用期間		利用時間	共同利用		専用施設	
			利用課題数	利用者数	利用課題数	利用者数
第1回	H 9.10 - H10. 3	1,286	94	681	-	-
第2回	H10. 4 - H10.10	1,702	234	1,252	7	-
第3回	H10.11 - H11. 6	2,585	274	1,542	33	467
第4回	H11. 9 - H11.12	1,371	242	1,631	65	427
第5回	H12. 1 - H12. 6	2,106	365	2,486	100	794
第6回	H12.10 - H13. 1	1,558	382	2,370	88	620
第7回	H13. 2 - H13. 6	2,381	473	2,915	102	766
第8回	H13. 9 - H14. 2	1,893	486	3,277	114	977
第9回	H14. 2 - H14. 7	2,093	543	3,246	110	1,043
第10回	H14. 9 - H15. 2	1,869	538	3,508	143	1,046
第11回	H15. 2 - H15. 7	2,244	632	3,777	164	1,347
第12回	H15. 9 - H16. 2	1,844	548	3,428	154	1,264
第13回	H16. 2 - H16. 7	2,095	568	3,756	163	1,269
第14回	H16. 9 - H16.12	1,971	554	3,546	* 146	1,154
合計		26,998	5,933	37,415	* 1,385	11,174

*) 暫定値

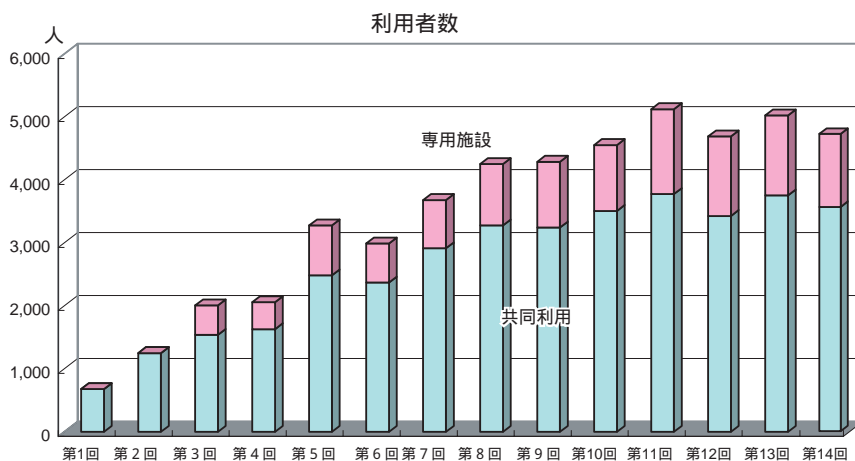
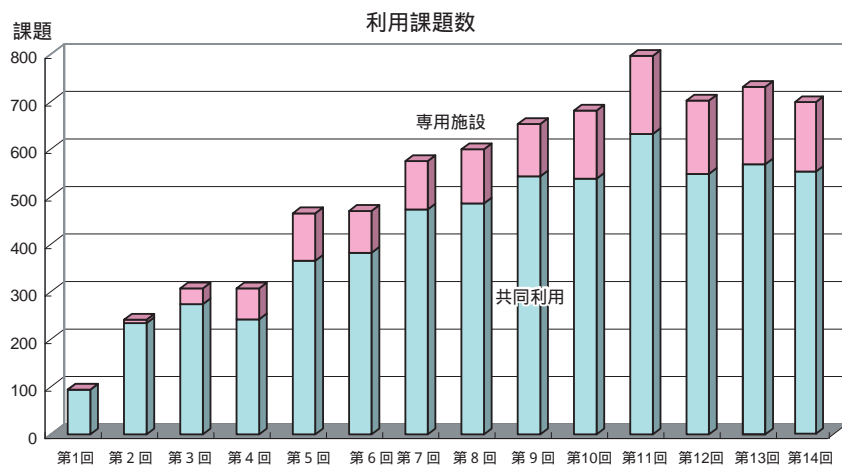


図1 利用課題数(上)及び利用者数(下)の推移

表2 2004B期共同利用研究課題の実施課題数と実施シフト数：研究分野と機関別分類

研究機関	生命科学		散乱/回折		XAFS		分光		実験技術		産業利用		重点/ユーザー課題		重点戦略課題		合計		平均シフト数
	課題数	シフト数	課題数	シフト数	課題数	シフト数	課題数	シフト数	課題数	シフト数	課題数	シフト数	課題数	シフト数	課題数	シフト数	課題数	シフト数	
国立大学	101	484.000	98	923.125	25	234.000	37	366.500	5	75.000	7	26.000	2	81.000	0	0.000	275	2189.625	8.0
公立大学	10	30.000	11	114.000	2	12.000	4	42.000	1	18.000	1	9.000	2	72.000	0	0.000	31	297.000	9.6
私立大学	11	66.000	19	174.000	1	12.000	5	63.000	2	28.000	1	3.000	0	0.000	0	0.000	39	346.000	8.9
国立研究機関等	9	63.000	14	140.750	7	46.750	9	105.000	0	0.000	0	0.000	1	24.000	0	0.000	40	379.500	9.5
特殊法人	5	33.000	10	138.750	2	21.000	4	53.750	1	12.000	1	6.000	0	0.000	0	0.000	23	264.500	11.5
公益法人	18	183.750	13	133.000	3	39.000	6	66.000	6	99.000	4	35.000	0	0.000	3	57.000	53	612.750	11.6
民間	6	25.000	5	42.000	8	56.000	5	51.000	0	0.000	47	295.750	0	0.000	0	0.000	71	469.750	6.6
海外	3	17.750	15	150.000	0	0.000	2	30.000	2	24.000	0	0.000	0	0.000	0	0.000	22	221.750	10.1
合計	163	902.500	185	1815.625	48	420.750	72	777.250	17	256.000	61	374.750	5	177.000	3	57.000	554	4723.875	
平均シフト数		5.5		9.8		8.8		10.8		15.1		6.1		35.4		19		8.5	

表3-1 第14回共同利用において実施された一般共同利用課題一覧

課題番号	課題名	実験責任者	所属	国名	BL	難易度
2004B6008-LD3-np	高分解能(磁気)コンプトン散乱測定による巨大磁気抵抗物質の電子及び軌道状態の研究	小泉 昭久	兵庫県立大学 (申請時:姫路工業大学)	日本	BL08W	36
2004B5003-LD1-np	光照射下放射光X線粉末回折による光誘起現象の研究	守友 浩	名古屋大学	日本	BL02B2	6
2004B5855-LD1-np	光照射下放射光X線粉末回折による光誘起現象の研究	守友 浩	名古屋大学	日本	BL40XU	30
2004B4013-LD2-np	100万気圧以上における高温その場観察実験の開発と地球惑星内部物質の相転移の研究	巽 好幸	海洋科学技術センター	日本	BL10XU	36
2004B3032-LD3-np	Nuclear Resonance Vibrational Spectroscopy (NRVS) of Hydrogen and Oxygen Activation by Biological Systems	Cramer Stephen	University of California Davis	USA	BL09XU	24
2004B3036-LL1-np	多剤排出蛋白質群のX線結晶構造解析	村上 聡	大阪大学	日本	BL41XU	12
2004B2009-LM-np	飛翔体搭載用硬X線結像光学系システムの性能評価実験	小賀坂 康志	名古屋大学	日本	BL20B2	24
2004B0001-NXa-np	広域X線吸収微細構造法によるInNおよびInGaP.N薄膜の局所構造解析	宇野 和行	和歌山大学	日本	BL01B1	9
2004B0003-ND3d-np	The effect of compression on the lattice dynamics of the high-temperature superconductor MgB ₂	Struzhkin Viktor	Carnegie Institution of Washington	USA	BL35XU	15
2004B0004-NL1-np	Crystallographic analysis of stress proteins-GroEL,AhpC and TrxR from M tuberculosis	Mande Shekhar	Centre for DNA Fingerprinting and Diagnostics	India	BL41XU	2.75
2004B0006-NL2b-np	ナノ粒子析出型Al基合金リボンの1軸伸張下でのナノ構造変化の研究	神山 智明	東北大学	日本	BL45XU	3
2004B0009-ND2a-np	マンガン酸化物の一電子バンド幅と強磁性転移温度	守友 浩	名古屋大学	日本	BL10XU	3
2004B0014-NSa-np	モット転移近傍で制御された強相関有機導体の金属絶縁体相分離過程の顕微赤外分光マッピング測定	佐々木 孝彦	東北大学	日本	BL43IR	18
2004B0016-ND1b-np	生分解性ポリエステル繊維の高強度化に及ぼす分子鎖構造及び高次構造の解明	岩田 忠久	(独)理化学研究所	日本	BL47XU	9
2004B0020-ND1c-np	フェムト秒レーザー駆動衝撃波によって合成された鉄の高圧相の結晶構造解析	佐野 智一	大阪大学	日本	BL13XU	12
2004B0021-NM-np	Fundamental studies of diffraction phenomena at a 90-degree Bragg reflection	Nikulin Andrei	Monash University	Australia	BL29XU	9
2004B0022-NM-np	Nano-resolution diffraction imaging of non-Bragg diffracting materials using the PRXRD method	Nikulin Andrei	Monash University	Australia	BL29XU	15
2004B0023-NSa-np	プロピレン-エチレン共重合体の粒子内組成分布に関する研究	田中 健吉	出光興産(株) (申請時:出光石油化学(株))	日本	BL43IR	12
2004B0025-ND1c-np	ドライゲルコンバージョン法でのゼオライトの結晶化過程のin-situ観察	松方 正彦	早稲田大学	日本	BL04B2	9
2004B0027-NI-p	光学結晶のX線トポグラフィ	田平 泰規	三井金属鉱業(株)	日本	BL28B2	3
2004B0030-NSb-np	Intra molecular Auger electron scattering and charge transfer of CF ₄ and SF ₆ probed by high resolution electron-ion coincidence spectroscopy	Pruemper Georg	東北大学	日本	BL27SU	15
2004B0031-ND1d-np	全反射異常散乱法による多層Geナノワイヤーの歪み解析	川村 朋晃	NTT物性科学基礎研究所(株)	日本	BL46XU	12
2004B0033-ND1c-np	正20面体対称準結晶の精密回折強度測定	山本 昭二	(独)物質・材料研究機構	日本	BL02B1	6
2004B0034-NL3-np	大面積フラットパネル検出器を用いたウサギ肺の屈折コントラストCT	八木 直人	(財)高輝度光科学研究センター	日本	BL20B2	9
2004B0035-NL2a-np	アクチンに結合したミオシン頭部からの層線強度の時分割測定	八木 直人	(財)高輝度光科学研究センター	日本	BL40XU	9
2004B0037-NL2b-np	高分子電解質・疎水性対イオン複合体超分子構造形成の動力学	佐々木 茂男	九州大学	日本	BL45XU	3
2004B0038-NL3-np	Appraisal of crossbridge cycling in cardiac disease models by X-ray diffraction	Pearson James	国立循環器病センター	日本	BL40XU	12
2004B0039-NXa-np	InNバンドギャップ変化とIn原子周辺局所構造の関係の蛍光EXAFS法による評価	田淵 雅夫	名古屋大学	日本	BL01B1	12
2004B0040-ND2b-np	Investigation of possible phase transition in CaSiO ₃ perovskite at high pressure and temperature using a new angle-dispersive technique and sintered diamond anvils	Wang Yanbin	The University of Chicago	USA	BL04B1	9
2004B0041-NXa-np	LaMnO ₃ の「次世代」XANES分光	林 久史	東北大学	日本	BL11XU	15
2004B0043-NXa-np	La _{2-x} Sr _x CuO ₄ の偏光・寿命幅フリー-XANESの温度依存性	林 久史	東北大学	日本	BL39XU	15
2004B0046-ND1a-np	Investigation of [Ag, In] ₂ Zn ₂ S ₄ crystal structures using Ag K-absorption edge:effect of crystal structures on the electronic band structure and photocatalytic properties of these materials	Petrykin Valery	東北大学	日本	BL02B2	3
2004B0047-NL3-np	発生・加齢にともなう腎小体の三次元構築変容の解析	藤本 勝邦	川崎医科大学	日本	BL20B2	3
2004B0048-ND1a-np	Structures and charge density studies of layered transition metal oxychalcogenides	Clarke Simon	University of Oxford	UK	BL02B2	6
2004B0049-ND2b-np	X線吸収法による玄武岩組成メルトの密度測定	浦川 啓	岡山大学	日本	BL22XU	12
2004B0050-NSa-np	強相関f電子系における量子臨界点近傍の電荷ダイナミクスの研究	松波 雅治	(独)理化学研究所	日本	BL43IR	18
2004B0052-ND1d-np	Si(111)-3×3-Ag表面相転移に伴うフォノン挙動	田尻 寛男	(財)高輝度光科学研究センター	日本	BL13XU	12
2004B0053-NM-np	準単色光を用いた、超高速CT装置の開発	上杉 健太郎	(財)高輝度光科学研究センター	日本	BL40XU	24
2004B0055-NL3-np	好中球様に分化させた培養細胞の活性酸素産生とキサンチン、キサンチンオキシターゼの系での活性酸素産生に伴う鉄の価電子状態の変化	白川 太郎	京都大学	日本	BL37XU	6
2004B0056-ND1c-np	ナノ結晶FeTiH ₂ の粒界構造観察	伊藤 恵司	京都大学	日本	BL04B2	9
2004B0059-NL1-np	バクテリオクロロフィルc生成に関与するメチル化酵素BchUの構造解析	福山 恵一	大阪大学	日本	BL41XU	6
2004B0060-NL3-np	2色X線CTの基礎研究	取越 正己	(独)放射線医学総合研究所	日本	BL20B2	18
2004B0064-NSb-np	Fragmentation of methane and deuteromethane molecules following core ionisation, studied by energy-resolved Auger electron-ion coincidence spectroscopy	Kukk Edwin	University of Oulu	Finland	BL27SU	18
2004B0065-ND1a-np	Phase Transitions in Nd doped PrAlO ₃	Kennedy Brendan	The University of Sydney	Australia	BL02B2	6
2004B0066-ND1b-np	高エネルギーX線回折による混合金属ポリオキソメタレートにおける金属置換効果の解析	尾関 智二	東京工業大学	日本	BL04B2	9
2004B0068-CD1c-np	IV族半導体融体の高温における局所構造	乾 雅祝	広島大学	日本	BL28B2	12
2004B0069-ND2a-np	超臨界流体セレンの密度ゆらぎと半導体-金属転移	乾 雅祝	広島大学	日本	BL04B2	12
2004B0070-ND3d-np	Inelastic x-ray scattering measurements for expanded fluid Se	乾 雅祝	広島大学	日本	BL35XU	21

課題番号	課題名	実験責任者	所属	国名	B L	実験ノド数
2004B0072-ND2a-np	超臨界領域におけるアルカリ金属流体のX線小角散乱実験	松田 和博	京都大学	日本	BL04B2	6
2004B0073-ND2a-np	流体カリウムのX線回折実験	松田 和博	京都大学	日本	BL28B2	12
2004B0075-NXa-np	可視光照射下での水の全分解反応に活性なRu添加Ga ₂ N ₂ O光触媒の局所構造解析	堂免 一成	東京大学	日本	BL01B1	12
2004B0077-ND1d-np	Co/Cu/Gd/Cu多層膜の元素選択磁気構造と間接交換相互作用の到達距離	細糸 信好	奈良先端科学技術大学院大学	日本	BL39XU	12
2004B0078-NSa-np	低温・高圧下でのFeSの電子状態変化の研究	難波 孝夫	神戸大学	日本	BL43IR	15
2004B0082-NL2a-np	広角溶液散乱による蛋白質の折畳みの階層地図の作成	平井 光博	群馬大学	日本	BL40B2	6
2004B0084-NXa-np	CaGeO ₃ 及びSrGeO ₃ ジャーマネート液相の高圧XAFS測定	大高 理	大阪大学	日本	BL14B1	3
2004B0085-ND2a-np	CuIの高圧相の構造と相関係	大高 理	大阪大学	日本	BL22XU	9
2004B0089-ND1b-np	スピンドロスオーバー錯体における電子密度解析によるLIESST現象の解明	加藤 健一	(財高輝度光科学研究センター)	日本	BL02B2	6
2004B0091-NX-p	ヘテロポリ酸触媒中の添加元素の酸化状態のXAFS法による解析	竹中 安夫	三菱レイヨン(株)	日本	BL01B1	1
2004B0092-NI-np	X線マイクロビームを用いたステンレス鋼の溶接熱影響部における応力分布測定	谷山 明	住友金属工業(株)	日本	BL46XU	9
2004B0093-NXa-np	XANESによる水田土壌中ヨウ素の酸化還元状態の直接分析	山口 紀子	(独)農業環境技術研究所	日本	BL01B1	6
2004B0094-ND1c-np	MgZn相の結晶構造解析	今野 豊彦	大阪府立大学	日本	BL02B2	3
2004B0096-NL2b-np	時分割小角X線散乱法によるらせん-ランダムコイル転移により誘起されるゲルの体積相転移のダイナミクスに関する研究	竹中 幹人	京都大学	日本	BL45XU	6
2004B0103-NL2b-np	高性能偏光板開発のためのポリビニルアルコールフィルムのX線による構造研究; 水中での延伸による構造変化の小角X線散乱研究	宮崎 司	日東電工(株)	日本	BL40B2	6
2004B0105-NXb-np	選択的高分解能発光分光法によるMo化合物の電子構造解析	山岡 人志	(独)理化学研究所	日本	BL15XU	9
2004B0115-ND1d-np	溶融Ga/SiC界面で生じる自己組織化構造の透過型反射率(TXR)法による観察	高橋 功	関西学院大学	日本	BL13XU	9
2004B0116-ND1d-np	透過型反射率(TXR)法によるゲル/Si界面のその場観察	高橋 功	関西学院大学	日本	BL13XU	6
2004B0117-ND1a-np	粉末X線回折法によるMgB ₂ の異方的熱膨張の研究	牧原 義一	九州共立大学	日本	BL02B2	3
2004B0118-NSa-np	LSI基本材料表面のナノメートルオーダーにおける電子分光分析における検出深さ分布関数の精密計測	鈴木 峰晴	アルバック・ファイ(株)	日本	BL15XU	9
2004B0119-NL1-np	Structural studies on LY96, an endotoxin receptor	Lee Jie-Oh	Korea Advanced Institute of Science and Technology	Korea	BL41XU	3
2004B0122-ND2b-np	はやぶさサンプル(小惑星表面探査試料)初期分析に向けての放射光イメージングを用いた研究-その1	土山 明	大阪大学	日本	BL20B2	9
2004B0123-ND2b-np	はやぶさサンプル(小惑星表面探査試料)初期分析に向けての放射光イメージングを用いた研究-その2	土山 明	大阪大学	日本	BL20XU	9
2004B0124-ND2b-np	地球のマントルにおける白金族元素を含有する微小相(ナゲット)の探索	小木曾 哲	(独)海洋研究開発機構	日本	BL20XU	8.75
2004B0125-NL1-np	BARドメインタンパク質のX線結晶構造解析	武田 壮一	国立循環器病センター	日本	BL38B1	3
2004B0127-ND2b-np	百万気圧以上にいる条件下でのCaSiO ₃ -FeSiO ₃ 系の高圧相関係	藤野 清志	北海道大学	日本	BL10XU	3
2004B0132-NL1-np	大麻成分の生合成酵素の結晶構造解析	森元 聡	九州大学	日本	BL38B1	3
2004B0135-NL2b-np	糖鎖誘導有機ゲル化剤が形成するナノメータスケールの超分子集合体に関する構造学的及び力学的研究	櫻井 和朗	北九州市立大学	日本	BL40B2	6
2004B0136-ND2a-np	In-situ Synthesis and Characterization of Novel Extended Nitrides at High Pressures and Temperatures	Yoo Choong-Shik	Lawrence Livermore National Laboratory	USA	BL10XU	12
2004B0139-NL2b-np	シンクロトロン放射光X線回折による法科学証拠資料の異同識別	中西 俊雄	兵庫県警察本部	日本	BL40B2	9
2004B0143-ND3a-np	Np-115化合物の磁気コンプトン散乱	筒井 智嗣	(財高輝度光科学研究センター)	日本	BL08W	18
2004B0144-NL2b-np	水素結合性液晶化合物ANBC-22の高圧下での、メソスコピック相形成におよぼす微量水分の影響	櫻井 伸一	京都工芸繊維大学	日本	BL45XU	6
2004B0150-NL1-np	DNA複製装置のX線結晶構造解析	森川 耿右	技術研究組合生体分子工学研究所	日本	BL38B1	3
2004B0151-NL1-np	クランプローダーRFC複合体のX線結晶構造解析	森川 耿右	技術研究組合生体分子工学研究所	日本	BL41XU	3
2004B0152-NL2a-np	代謝型グルタミン酸受容体細胞外領域のX線溶液散乱による溶液構造研究	土屋 大輔	技術研究組合生体分子工学研究所/JASRI	日本	BL40B2	6
2004B0154-NSc-np	Fe/非磁性金属エピタキシャル人工格子における非磁性層気相の深さ方向分布解析	壬生 攻	京都大学	日本	BL39XU	24
2004B0156-NL2b-np	キトサン/塩酸錯体の繊維X線結晶構造解析	野口 恵一	東京農工大学	日本	BL40B2	3
2004B0161-ND1a-np	スピネル型MnV ₂ O ₄ の軌道整列とドーピング依存性	勝藤 拓郎	早稲田大学	日本	BL02B2	6
2004B0162-ND1a-np	新しい希土類層状硫化物および希土類層状オキシサルファイドの精密構造解析	高瀬 浩一	日本大学	日本	BL02B2	3
2004B0163-ND1b-np	単一成分分子金属の高圧構造	小林 昭子	東京大学	日本	BL10XU	3
2004B0164-ND1b-np	粉末X線回折による単一成分分子金属及び有機ラジカル部位を持つドナーが形成する有機伝導体の構造解析	小林 昭子	東京大学	日本	BL02B2	3
2004B0166-NXa-np	チタニア系ナノチューブのXAFSによる局所構造解析と生成過程解明	中平 敦	京都工芸繊維大学	日本	BL01B1	3
2004B0168-NXa-np	XAFS法によるアモルファス状リン酸カルシウム(ACP)の構造変化の解明	中平 敦	京都工芸繊維大学	日本	BL01B1	3
2004B0169-NXa-np	蛍光分光法を用いた高感度XANES法による地球化学試料中のオスミウムのスペシエーション	高橋 嘉夫	広島大学	日本	BL37XU	6
2004B0176-ND1c-np	X線異常散乱を用いたPd _{0.5} Ni _{0.5} 金属ガラスのfull-relaxation過程に伴う部分構造変化の研究	春山 修身	東京理科大学	日本	BL02B1	9
2004B0177-NI-np	空中浮遊ナノサイズ水クラスターの赤外吸収スペクトルの測定	濱田 紉	松下電工(株)	日本	BL43IR	6
2004B0179-ND1c-np	静電場試料浮遊法を用いた過冷却液体ジルコニウムの静的構造	正木 匡彦	宇宙航空研究開発機構	日本	BL04B2	15
2004B0180-NM-np	硬X線用Kinofom型ゾーンプレートの製作の試み	上條 長生	関西医科大学	日本	BL20XU	18
2004B0181-ND1b-np	電子密度分布解析による分子間Cl...Cl相互作用のキャラクタリゼーション	橋爪 大輔	(独)理化学研究所	日本	BL04B2	7
2004B0182-NX-p	X線吸収分光法を用いた燃料電池構成材料の特性評価法の研究	陸山 博之	(独)産業技術総合研究所	日本	BL01B1	9
2004B0187-ND2a-np	高温高圧超臨界流体中での窒化炭素の反応合成	遊佐 育	(独)物質・材料研究機構	日本	BL10XU	6
2004B0189-ND2a-np	CaAl(2-x)Zn(x)ラーベス相金属間化合物の高圧相転移	遊佐 育	(独)物質・材料研究機構	日本	BL04B2	8
2004B0191-NI-np	白色X線トポグラフィーによる蛍石結晶内部構造の三次元可視化	野間 敬	キヤノン(株)	日本	BL28B2	12
2004B0193-ND1b-np	低温粉末X線回折実験による鉄混入原子価錯体[FeII(FeIII(dto)) ₂](R=(n-C ₂₀ H ₄₁) ₄ N, Spiropyran ;dto=C ₂ O ₂ S ₂)の結晶構造解析と電荷移動相転移の研究	小島 憲道	東京大学	日本	BL02B2	6

課題番号	課題名	実験責任者	所属	国名	BL	難シド数
2004B0197-NL1-np	オートファジーに必須なE2様酵素Atg3の構造解析	稲垣 冬彦	北海道大学	日本	BL41XU	6
2004B0198-ND2b-np	20GPaまで圧力条件下における含水マグマの粘性及び密度測定	三部 賢治	東京大学	日本	BL04B1	9
2004B0199-NSc-np	Co/Cuをベースとした交換結合金属多層膜の非磁性層のスピン分極	橋爪 弘雄	奈良先端科学技術大学院大学	日本	BL39XU	21
2004B0200-ND1c-np	Ionic liquid metal ion solutions	Goldbach Andreas	CNRS Centre de Recherche sur la Matiere Divisee (CNRS-CRMD)	France	BL04B2	9
2004B0202-NL2a-np	蛋白質結晶の回折斑点の微細構造からの構造情報抽出の試み	岡 俊彦	慶應義塾大学	日本	BL40XU	9
2004B0203-ND2b-np	高圧X線トポグラフィ法によるオリビン/スピネル相転移のその場の観察	神崎 正美	岡山大学	日本	BL04B1	9
2004B0205-NL1-np	膜蛋白質結晶中の脂質二重膜の可視化	豊島 近	東京大学	日本	BL41XU	6
2004B0207-NL1-np	筋小胞体カルシウムポンプの結晶構造解析	豊島 近	東京大学	日本	BL41XU	6
2004B0214-NSa-np	In/Cu(001)表面における相転移現象のPEEM観察	有賀 哲也	京都大学	日本	BL25SU	6
2004B0218-ND1c-np	中温領域(200~400 K)で動作可能な新規固体電解質(NH ₄) ₂ K ₂ PO ₃ のプロトン伝導機構の解明	稲葉 稔	同志社大学	日本	BL04B2	9
2004B0219-ND1b-np	光誘起相転移化合物の相転移に伴う構造に関する研究	速水 真也	九州大学	日本	BL02B2	3
2004B0220-NX-p	貴金属触媒のin-situ XAFSによる解析 1	高木 信之	トヨタ自動車(株)	日本	BL01B1	6
2004B0221-NX-p	貴金属触媒のin-situ XAFSによる解析 2	高木 信之	トヨタ自動車(株)	日本	BL01B1	6
2004B0222-NX-p	NSR触媒のXAFSによる解析 1	石井 勝	トヨタ自動車(株)	日本	BL01B1	3
2004B0223-ND3b-np	F19原子核におけるパリティ混合の研究: F19原子核のパリティ非保存と中性ウィークボソン・核子結合	藤原 守	大阪大学	日本	BL08W	21
2004B0228-NL2a-np	X線繊維回折法を用いたプリオンタンパク質Sup35の形成するアミロイド線維の構造解析	岸元 愛子	大阪大学	日本	BL40B2	3
2004B0229-NL1-np	tRNAの3CCA末端の修復を触媒するCCA付加酵素とtRNAの複合体のX線結晶構造解析	濡木 理	東京工業大学	日本	BL41XU	3
2004B0233-NL1-np	結び目構造を持つSpoUメチルトランスフェラーゼとtRNAの複合体のX線結晶構造解析	濡木 理	東京工業大学	日本	BL41XU	3
2004B0238-ND2b-np	(Mg _{0.5} Fe _{0.5}) ₂ SiO ₄ リングウグダイトの高温高圧状態方程式の決定	松井 正典	兵庫県立大学	日本	BL04B1	6
2004B0240-ND1b-np	有機超伝導体でのSDWCWD共存	野上 由夫	岡山大学	日本	BL02B1	15
2004B0244-NXb-np	50 keV 以上の高エネルギー領域に対応した波長分散型蛍光X線分析装置の開発	桜井 健次	(独)物質・材料研究機構	日本	BL37XU	9
2004B0246-NL2a-np	ストップフロー小角散乱によるカルモデュリンの標的分子機構解明	和泉 義信	山形大学	日本	BL45XU	4
2004B0248-NL2a-np	Electron density distribution in lung surfactant	Quinn Peter	Kings College London	UK	BL40B2	12
2004B0249-NXa-np	XAFSによるペロブスカイト型自動車排気ガス浄化触媒の自己再生機構の研究(4)	谷口 昌司	ダイハツ工業(株)	日本	BL01B1	12
2004B0250-NSc-np	Feが巨大磁気モーメントを持つNi ₂ FeGaにおける元素ごとの磁気状態と電子状態の観測	今田 真	大阪大学	日本	BL25SU	9
2004B0257-ND1d-np	有機・高分子半導体薄膜の表面ナノ凝集構造解析	高原 淳	九州大学	日本	BL13XU	9
2004B0258-NL2a-np	length clamp法による短縮中の心筋クロスブリッジ動態の解析	奥山 博司	川崎医科大学	日本	BL45XU	6
2004B0259-NXa-np	時間分解XAFSによるデンドリマー固定化パラジウム超微粒子生成構造の解明	金田 清臣	大阪大学	日本	BL28B2	3
2004B0260-NXa-np	Wacker反応におけるモンモリロナイト層間のPd活性種の微細構造決定	金田 清臣	大阪大学	日本	BL01B1	6
2004B0263-ND1b-np	層状化合物超伝導体の精密結晶構造解析	田口 康二郎	東北大学	日本	BL02B2	3
2004B0264-NSa-np	R3d-f共鳴光電子分光による透明半導体(RO)CuS(R=La,Ce,Pr,Nd)の電子状態の研究	高瀬 浩一	日本大学	日本	BL25SU	6
2004B0265-NL2a-np	海綿骨の階層構造に着目した骨染内コラーゲン-Aパタイトの動力学的挙動観察	東藤 正浩	大阪大学	日本	BL40XU	12
2004B0271-NL2b-np	初めて見えた核生成は核生成理論の再構築を要求しているか?	彦坂 正道	広島大学	日本	BL40B2	6
2004B0274-ND3b-np	Ta-181核共鳴散乱を用いた光学距離変化による位相変調の検出	彦坂 正道	大阪大学	日本	BL09XU	12
2004B0279-NL1-np	細菌べん毛特異的輸送ATPase FliHのX線結晶構造解析	今田 勝巳	大阪大学	日本	BL41XU	6
2004B0281-NL1-np	細菌べん毛モータータンパク質MotYのX線結晶構造解析	今田 勝巳	大阪大学	日本	BL41XU	6
2004B0282-NL1-np	ヒスタミン脱水素酵素の基質認識機構に関する研究	佐藤 敦子	京都大学	日本	BL41XU	3
2004B0283-NI-np	攪拌流動層加熱における飛灰中重金属の結合状態変化に関する研究	山本 浩	JFEエンジニアリング(株)	日本	BL01B1	9
2004B0285-NL1-np	高分解能X線結晶構造解析によるアミラーゼ反応機構の解明	三上 文三	京都大学	日本	BL38B1	3
2004B0286-NL1-np	光化学系II膜タンパク質複合体の結晶構造解析	沈 建仁	岡山大学	日本	BL41XU	9
2004B0288-ND3c-np	ニオブをドープしたチタン酸ストロンチウムの自発変形のX線トポグラフィによる測定	尾崎 徹	広島工業大学	日本	BL28B2	12
2004B0289-NL2b-np	高分子混合系における多波長X線CTによる元素密度測定を利用した新規相関測定法に関する研究	陣内 浩司	京都工芸繊維大学	日本	BL20B2	6
2004B0290-NL2b-np	生分解性高分子ポリ乳酸(PLA)の結晶化速度と物性向上を目的とする結晶化機構の研究	金谷 利治	京都大学	日本	BL45XU	3
2004B0294-ND1c-np	長繊維強化金属基複合材料における疲労き裂まわりのひずみ分布測定	秋庭 義明	名古屋大学	日本	BL09XU	9
2004B0296-ND2a-np	C60ピーポッド、および開端、閉端カーボンナノチューブの高圧下の構造に関する研究	川崎 晋司	名古屋工業大学	日本	BL10XU	6
2004B0301-NXa-np	燃料油の深度脱硫吸着剤として金属イオン(Ag, Ni)交換ゼオライトのXAFS構造解析	山下 弘巳	大阪大学	日本	BL01B1	3
2004B0308-NL2b-np	配向場下における高分子鎖の構造形成とダイナミックスの実時間同時測定	深尾 浩次	京都工芸繊維大学	日本	BL40B2	3
2004B0309-ND2a-np	鉄混合原子価錯体(n-C ₂ H ₅) ₄ N[FellFell(dto)] ₃ における高圧力下構造解析	上床 美也	東京大学	日本	BL10XU	6
2004B0310-ND1c-np	シリカ微粒子のミクロ構造の粒子サイズ依存性	内野 隆司	神戸大学	日本	BL04B2	5.625
2004B0311-NXa-np	Quick XAFS法によるゼオライト細孔内におけるAuクラスターの成長過程観察	奥村 和	鳥取大学	日本	BL01B1	12
2004B0312-NXa-np	エネルギー分散型XAFS法の高度化およびゼオライト細孔内におけるPtクラスターの成長過程観察	奥村 和	鳥取大学	日本	BL28B2	18
2004B0315-NL1-np	微生物多糖リアーゼの構造機能相関	橋本 涉	京都大学	日本	BL38B1	6
2004B0316-NSc-np	微細加工を施したLa _{0.7} Sr _{0.3} MnO ₃ 薄膜における光電子顕微鏡による磁区構造の観察	寺嶋 孝仁	京都大学	日本	BL25SU	9
2004B0317-NL3-np	微小血管造影法を利用した各種循環器疾患における微小循環動態の評価	横山 光宏	神戸大学	日本	BL20B2	9
2004B0319-NL3-np	X線回折を用いた生体での心疾患病態の評価	横山 光宏	神戸大学	日本	BL40XU	12
2004B0320-ND1c-np	AgBr添加高イオン伝導ガラスにおける配位環境とネットワーク構造	白杵 毅	山形大学	日本	BL04B2	9

PRESENT STATUS OF SPring-8

課題番号	課題名	実験責任者	所属	国名	BL	実験シフト数
2004B0322-NL3-np	周期的力学的負荷による骨形成促進効果と骨内血流の関与：放射光マイクロCT計測による骨微細構造および骨内局所血流の同時計測	松本 健志	大阪大学	日本	BL20B2	6
2004B0323-ND2a-np	High Pressure X-ray Diffraction Study of the Structure of ZnCl ₂ Liquid	Brazhkin Vadim	Institute for high pressure physics	Russia	BL14B1	3
2004B0325-ND1b-np	集積型金属錯体からなるナノワイヤー型結晶の構造解析	植村 卓史	京都大学	日本	BL02B1	6
2004B0326-ND1b-np	動的な構造を有する多孔性配位高分子微結晶の精密構造決定	北川 進	京都大学	日本	BL02B1	18
2004B0328-NI-p	微小角入射散乱によるアモルファスIZO膜の構造解析	島根 幸朗	出光興産(株)	日本	BL19B2	4
2004B0336-NSa-np	金属Ybにおける圧力誘起価数転移の赤外分光	岡村 英一	神戸大学	日本	BL43IR	12
2004B0338-NSa-np	量子常誘電体の紫外レーザー照射下における赤外分光	岡村 英一	神戸大学	日本	BL43IR	9
2004B0339-NL3-np	血管内皮前駆細胞を用いたラット急性心筋梗塞モデルに対する心血管再生療法(側副血行路の発達・冠動脈血流の改善)に関する研究	浅原 孝之	(独)理化学研究所	日本	BL28B2	15
2004B0340-ND2a-np	固体水素の高温・高圧下の粉末X線回折	川村 春樹	兵庫県立大学	日本	BL10XU	6
2004B0342-ND1a-np	チタン酸ピスマスのアモルファス相の構造解析	米田 安宏	日本原子力研究所	日本	BL04B2	9
2004B0343-ND3d-np	La _{2-x} Sr _x CuO ₄ におけるLO-bond stretching modeの異常ソフト化の方向依存性の観測	水木 純一郎	日本原子力研究所	日本	BL35XU	18
2004B0345-ND1c-np	Short- and intermediate-range structure in Te-Cl and Te-Br glasses	Bychkov Eugene	Universite Du Littoral	France	BL04B2	9
2004B0350-NM-np	高分解能蛍光X線マイクロトモグラフィーによるサブミクロン分解能3次元元素分析	渡辺 紀生	筑波大学	日本	BL20XU	15
2004B0351-NXa-np	高温高圧下におけるイプシロン鉄のK吸収端EXAFS測定	福井 宏之	岡山大学 (申請時：大阪大学)	日本	BL37XU	9
2004B0352-ND2b-np	In-situ determination of the melting diagram of iron-alloys at high pressure: implications for terrestrial planetary cores	Andraut Denis	Institut de Physique du Globe de Paris	France	BL04B1	9
2004B0353-ND1b-np	二次元キラル磁性体の長周期磁気構造の観測	井上 克也	広島大学	日本	BL46XU	18
2004B0354-NSc-np	新規キラル分子フェリ磁性体のMCDおよびMChD測定	井上 克也	広島大学	日本	BL25SU	15
2004B0355-NSb-np	メタノールクラスターにおける水素結合状態の局所的観測	為則 雄祐	(財)高輝度光科学研究センター	日本	BL27SU	12
2004B0356-ND1c-np	GeTe-Sb ₂ Te ₃ 疑二元系化合物の結晶構造解析	松永 利之	(株)松下テクノリサーチ	日本	BL02B2	6
2004B0360-NM-np	Feasibility study of making a large size beam at BL20B2	上杉 健太郎	(財)高輝度光科学研究センター	日本	BL20B2	9
2004B0363-NI-np	X線回折による溶接金属凝固組織のin-situ観察	米村 光治	住友金属工業(株)	日本	BL46XU	9
2004B0365-NI-p	XAFSによる窒化物半導体の局所構造解析	濱松 浩	住友化学工業(株)	日本	BL01B1	2
2004B0367-NSb-np	新3次元運動画像同時測定装置の開発およびNOの分子軸に対するNi ₂ s光電子の振動順位を分離した角度分布の測定	齋藤 則生	(独)産業技術総合研究所	日本	BL27SU	21
2004B0369-NSb-np	軟X線絶対強度基準を利用した希ガスのW値の高分解能測定	森下 雄一郎	(独)産業技術総合研究所	日本	BL27SU	18
2004B0374-ND3a-np	強磁性超伝導体UGe ₂ の高圧下弱偏極・強偏極相転移	山本 悦嗣	日本原子力研究所	日本	BL08W	15
2004B0376-NSc-np	磁壁移動検出型磁気記録媒体のGd-Fe-Co移動層に及ぼすTb添加元素の影響	中村 哲也	(財)高輝度光科学研究センター	日本	BL25SU	3
2004B0377-ND3b-np	軽希土類含有スクワテルライト化合物における電子・格子相互作用	筒井 智嗣	(財)高輝度光科学研究センター	日本	BL09XU	12
2004B0378-ND3a-np	UCoAlの磁気コンプトン・プロファイルの磁場依存性	松田 達磨	日本原子力研究所	日本	BL08W	14.75
2004B0382-ND1d-np	X線逆格子空間回折強度マッピング法による、シリコンに埋め込まれたBiナノ線の原子構造評価	坂田 修身	(財)高輝度光科学研究センター	日本	BL13XU	18
2004B0387-NL3-np	SPring-8放射光を用いた肺疾患モデルマウス肺の局所コンプライアンス	北原 俊博	(財)高輝度光科学研究センター	日本	BL20B2	12
2004B0390-NL2a-np	BL40XUにおける高速時分割溶液X線小角散乱測定系の高度化	井上 勝晶	(財)高輝度光科学研究センター	日本	BL40XU	8.75
2004B0391-NL2a-np	BL40B2における長カメラ長によるX線小角散乱測定系の検討	井上 勝晶	(財)高輝度光科学研究センター	日本	BL40B2	21
2004B0393-NI-np	薄膜構造評価用X線回折装置(ATX-GSOR)の立ち上げ	北野 彰子	(財)高輝度光科学研究センター	日本	BL13XU	18
2004B0394-NSa-np	DACを用いた強相関電子化合物における赤外顕微鏡下での電子状態の温度および圧力変化	入澤 明典	大阪大学	日本	BL43IR	12
2004B0396-NSa-np	5元系酸化物(Nd _{1-x} Ce _x) ₂ Sr ₂ MnO ₇ の軟X線吸収・光電子スペクトルのx,y依存性	菅 滋正	大阪大学	日本	BL25SU	12
2004B0400-NSa-np	CeRu ₂ X ₂ の角度分解共鳴光電子分光による近藤格子効果の検証	関山 明	大阪大学	日本	BL25SU	9
2004B0402-NSa-np	Bulk sensitive photoemission studies of two quasi-1d metallic oxides	Allen James	University of Michigan	USA	BL25SU	12
2004B0405-ND1d-np	CuOナノ粒子の構造相転移の解明	鄭 旭光	佐賀大学	日本	BL02B2	3
2004B0409-NXa-np	XAFS Measurements of the Structure of GeSb ₂ Te ₃ Optical Memory Alloys	Fons Paul	(独)産業技術総合研究所	日本	BL01B1	9
2004B0416-NL1-np	Thermotoga maritima由来のrRNAの成熟化に関する酵素、RNase ZのX線結晶構造解析	仙石 徹	(独)理化学研究所	日本	BL41XU	3
2004B0420-NSc-np	Fe-Rh合金の照射誘起磁性変態のXMCDによる研究	岩瀬 彰宏	大阪府立大学	日本	BL39XU	12
2004B0421-ND1d-np	Ru(001)表面に吸着した水クラスターおよび氷状2次元薄膜の表面界面構造解析	中村 将志	千葉大学 (申請時：慶應義塾大学)	日本	BL13XU	15
2004B0426-NL3-np	位相X線micro-CTによる病的モデル組織診断の試み	武田 徹	筑波大学	日本	BL20XU	6
2004B0427-NL1-np	腸内連鎖球菌ナトリウム輸送性ATPaseの構造解析	山登 一郎	東京理科大学	日本	BL38B1	3
2004B0428-NSb-np	軟X線内励起によるホット・分子の形状共鳴状態の生成・崩壊過程の研究	田中大	上智大学	日本	BL27SU	18
2004B0429-ND2b-np	パイロライトの50GPaまでの相変化・密度変化と下部マントル地震学的不連続面	入船 徹男	愛媛大学	日本	BL04B1	12
2004B0431-ND2b-np	高温高圧下での超音波とX線回折同時測定による弾性波速度の精密決定	入船 徹男	愛媛大学	日本	BL04B1	15
2004B0433-ND2b-np	焼結ダイヤモンドアンビルを用いた60GPa領域の圧力発生	山崎 大輔	愛媛大学	日本	BL04B1	9
2004B0437-ND2b-np	下部マントルにおけるMgO-FeO-SiO ₂ 系相平衡の精密決定 - その2	高橋 栄一	東京工業大学	日本	BL04B1	12
2004B0441-NI-np	軽元素系錯体化合物の精密構造解析	砥綿 真一	(株)豊田中央研究所	日本	BL19B2	6
2004B0442-NI-np	マイクロビームX線を用いたヒト毛髪細胞膜複合体(CMC)構造解析：毛髪美容剤の効果との関連	井上 敬文	(株)カネボウ化粧品	日本	BL40XU	12
2004B0443-NL1-np	ロドプシンにおける光反応初期中間体バソールミ遷移過程の高分解能構造解析	岡田 哲二	(独)産業技術総合研究所	日本	BL38B1	3
2004B0444-NL1-np	ロドプシン活性化過程に伴う蛋白質ダイナミクスのX線結晶構造解析	岡田 哲二	(独)産業技術総合研究所	日本	BL38B1	3

課題番号	課題名	実験責任者	所属	国名	B L	難シコ値
2004B0446-NL1-np	好冷性アラピナナーゼABN-Cの構造解析	多田 俊治	大阪府立大学	日本	BL38B1	1
2004B0447-NL1-np	イヌアレルゲンCan f 1 の構造解析	多田 俊治	大阪府立大学	日本	BL38B1	1
2004B0448-NL1-np	イヌアレルゲンCan f 2 の構造解析	多田 俊治	大阪府立大学	日本	BL38B1	1
2004B0450-NL1-np	光反応中心-光収獲系1複合体の結晶構造解析	熊坂 崇	東京工業大学	日本	BL41XU	6
2004B0454-NSa-np	赤外透過吸収分光法によるシリコン表面のハロゲン・エッチングにおける振動モードの観測 (I)	田中 正俊	横浜国立大学	日本	BL43IR	6
2004B0456-NXb-np	蛍光X線分析による重水素透過中のPd多層膜表面元素のin-situ観察	岩村 康弘	三菱重工業(株)	日本	BL37XU	18
2004B0457-NI-np	先進多孔質アルミニウム材料の衝撃エネルギー吸収能向上のための微細構造可視化	戸田 裕之	豊橋技術科学大学	日本	BL47XU	12
2004B0460-ND2a-np	液体ヨウ化銅および液体臭化銅の構造の圧力変化	辻 和彦	慶應義塾大学	日本	BL22XU	15
2004B0461-ND2a-np	液体セレン化亜鉛、液体テルル化亜鉛および液体ヨウ化銅の超高压下の構造	辻 和彦	慶應義塾大学	日本	BL04B1	12
2004B0464-ND1a-np	幾何学的フラストレーションをもつ重い電子系反強磁性体Ce ₂ Ni ₃ の格子歪の観測	梅尾 和則	広島大学	日本	BL02B1	3
2004B0465-NL2a-np	モノオレインキュービック相内部に拘束されたリゾチム分子で誘起されるキュービック相構造相転移	田中 晋平	広島大学	日本	BL40B2	3
2004B0466-NXa-np	Quick XAFS法による酸化還元反応下における貴金属触媒の液相 in situ 構造解析	藤田 勉	三菱レイヨン(株)	日本	BL01B1	9
2004B0467-NL3-np	大視野X線暗視野法による医療診断システムの開発	安藤 正海	高エネルギー加速器研究機構	日本	BL20B2	6
2004B0468-NSa-np	低温高压条件下の赤外線顕微鏡によるパイロクローア型Mo酸化物の圧力誘起金属・絶縁体転移の解明	東谷 篤志	(独)理化学研究所	日本	BL43IR	8.75
2004B0469-ND3d-np	共鳴非弾性X線散乱による二次元系高温超伝導体La _{2-x} Sr _x CuO ₄ の解明	東谷 篤志	(独)理化学研究所	日本	BL19LXU	21
2004B0470-ND2a-np	高压酸素超臨界流体の局所構造転移	赤浜 裕一	兵庫県立大学	日本	BL04B2	12
2004B0472-ND2a-np	スカンジウムの高圧下の構造相転移	赤浜 裕一	兵庫県立大学	日本	BL10XU	6
2004B0473-NL2a-np	急速凍結した生体試料の微小領域高輝度X線回折像マッピングのための技術開発	岩本 裕之	(財)高輝度光科学研究センター	日本	BL40XU	9
2004B0474-NL2a-np	急速凍結法による微小量の収縮性生体試料からの高精度X線回折	岩本 裕之	(財)高輝度光科学研究センター	日本	BL45XU	6
2004B0475-NL2a-np	収縮蛋白特異的な低分子量薬剤の収縮調整蛋白構造変化への影響に関する超高速X線解析	岩本 裕之	(財)高輝度光科学研究センター	日本	BL40XU	18
2004B0476-ND1a-np	高压下合成イットリウム-炭素系超伝導体の転移点近傍における電子密度レベルでの構造変化	大坂 恵一	財団法人高輝度光科学研究センター	日本	BL02B2	4
2004B0477-NM-np	Fresnel zone plate 拡大結像光学系とX線プリズムを組み合わせた結像型ホログラフィックイメージング法の研究	鈴木 芳生	(財)高輝度光科学研究センター	日本	BL20XU	30
2004B0478-NL3-np	低エネルギーX線を使った最大濃度分解能での in vivo イメージング	梅谷 啓二	(財)高輝度光科学研究センター	日本	BL28B2	12
2004B0479-NL3-np	400万画素の動態画像検出器を使った大視野高解像度イメージング	梅谷 啓二	(財)高輝度光科学研究センター	日本	BL28B2	9
2004B0480-NL3-np	高解像度型マイクロ・トモシンセシス(断層撮影)装置の開発	梅谷 啓二	(財)高輝度光科学研究センター	日本	BL20B2	6
2004B0481-NL3-np	BL20B2高輝度モードでの低エネルギーX線を使った in vivo 大視野イメージング	梅谷 啓二	(財)高輝度光科学研究センター	日本	BL20B2	10
2004B0483-NSc-np	XMCDによるRbMnFe(CN) ₆ 時間発展型光誘起相転移現象の研究	大沢 仁志	東京大学	日本	BL39XU	12
2004B0485-NL2a-np	水晶体発達過程におけるクリスタリン構造変化と透明性獲得機構: タンパク質フォールディングとシャペロン活性	毛利 聡	岡山大学	日本	BL40B2	3
2004B0486-NSa-np	BL43IRのノイズ対策、アクティブフィードバックシステムのテスト	森脇 太郎	(財)高輝度光科学研究センター	日本	BL43IR	18
2004B0489-NSb-np	中性高励起リユードベルグ状態を利用したK端しきい付近のスペクトル測定	下條 竜夫	兵庫県立大学	日本	BL27SU	9
2004B0490-NI-np	微小角入射X線散乱法による鉄不動態皮膜の構造解析II	山下 正人	兵庫県立大学	日本	BL46XU	9
2004B0491-ND3d-np	Searching of phonon softening mode in one-dimensional system BaV ₃	田中 良和	(独)理化学研究所	日本	BL35XU	15
2004B0492-NM-np	高エネルギーX線用Kirkpatrick-Baez型集光ミラーの開発	竹内 晃久	(財)高輝度光科学研究センター	日本	BL20XU	18
2004B0494-NSa-np	軽元素化合物の内殻励起子生成に伴う原子移動とその対称性の観測: 軟X線再結合発光の偏光依存性	原田 慈久	(独)理化学研究所	日本	BL27SU	9
2004B0495-NSc-np	10Hz円偏光反転と電磁石MCD装置による高精度軟X線MCD測定	室 隆桂之	(財)高輝度光科学研究センター	日本	BL25SU	6
2004B0497-ND2b-np	触媒を用いた(Mg _{0.9} Fe _{0.1}) ₂ SiO ₄ のポストスピネル転移の相平衡関係の決定	桂 智男	岡山大学	日本	BL04B1	9
2004B0498-ND2b-np	下部マントル最上部でのMgSiO ₃ ペロフスカイトの熱膨張率測定	桂 智男	岡山大学	日本	BL04B1	15
2004B0504-NM-np	X線プリズムと結像光学素子による干渉顕微鏡を用いた位相計測	香村 芳樹	(独)理化学研究所	日本	BL20XU	12
2004B0509-NM-np	高速走査顕微鏡光学系を利用した高空間分解3次元X線位相CTの開発	高野 秀和	兵庫県立大学	日本	BL20XU	18
2004B0510-NXa-np	偏光全反射XAFSによる気/液界面でのイミダゾール-銅錯体の配位構造の精密評価	飯村 兼一	宇都宮大学	日本	BL39XU	12
2004B0512-NXa-np	In situ 時分割XAFSによる飛灰中銅の酸化還元反応の解析	田中 庸裕	京都大学	日本	BL28B2	18
2004B0513-ND1d-np	Bi原子細線のまわりに誘起される歪み場の解明 - 位相敏感X線回折法による	矢代 航	東京大学	日本	BL09XU	14.75
2004B0516-ND1b-np	- d相互作用のある有機導体 - BETS ₂ FeCl ₄ の4Kでの単結晶構造解析	渡邊 真史	東北大学	日本	BL02B1	9
2004B0517-ND1a-np	圧力誘起超伝導体UGe ₂ の結晶構造・CDWの探索	阿曾 尚文	東京大学	日本	BL22XU	6
2004B0520-NL2b-np	脂質二重膜が形成する多重層ベシクルの階層構造に対する塩・糖の効果	瀬戸 秀紀	京都大学	日本	BL40B2	3
2004B0521-ND1d-np	セラミックナノ材料の形成過程の研究	足立 基齊	京都大学	日本	BL45XU	3
2004B0526-NL1-np	抗生物質バンコマイシン・ペプチド複合体およびリソソーム酵素のX線結晶構造解析	藤澤 郁英	豊橋技術科学大学	日本	BL38B1	3
2004B0532-ND3c-np	トモグラフィ要素を取り入れた白色ラウエ・トポグラフィ - 平板単結晶中の欠陥の3次元構造決定 -	川戸 清爾	(株)リガク	日本	BL28B2	9
2004B0537-ND1a-np	磁性強誘電体Bi-3d遷移金属ペロフスカイト固溶体の精密構造解析	東 正樹	京都大学	日本	BL02B2	3
2004B0538-NL1-np	超好熱始原菌由来転写調節因子TIPとTBPとの複合体TIP/TBPのX線結晶構造解析	井上 豪	大阪大学	日本	BL38B1	3
2004B0539-NL1-np	緑膿菌由来セラミド分解酵素セラミダーゼの結晶構造解析	井上 豪	大阪大学	日本	BL38B1	6
2004B0541-NI-p	金属担持酸化物のXAFS	住田 弘祐	マツダ(株)	日本	BL19B2	1
2004B0545-NSa-np	高压下CeSbの磁場誘起金属・絶縁体転移	木村 真一	自然科学研究機構	日本	BL43IR	18
2004B0548-ND3c-np	平面波X線を用いたCZシリコン結晶中微小欠陥の回折強度曲線	飯田 敏	富山大学	日本	BL20B2	12
2004B0550-ND1c-np	クラスレート形成化合物の液相における精密構造解析	水野 章敏	学習院大学	日本	BL04B2	9

課題番号	課題名	実験責任者	所属	国名	B L	実施シフト数
2004B0552-ND1c-np	固体酸化物型燃料電池における熱サイクル中の燃料極還元過程に伴う内部応力挙動のその場測定	田中 啓介	名古屋大学	日本	BL02B1	9
2004B0556-ND2a-np	ダイヤモンドアンビルセルによる超高压力発生技術の最適化	竹村 謙一	(独物質・材料研究機構)	日本	BL10XU	12
2004B0557-NSb-np	内殻光電子振動分光でみる内殻イオン化状態の構造	上田 潔	東北大学	日本	BL27SU	12
2004B0558-NL1-np	グルタミルシステイン合成酵素のリン酸基転移による構造変化の解析	日并 隆雄	福井県立大学	日本	BL38B1	3
2004B0560-NI-np	XAFS法によるZnS発光体中のMn ²⁺ の構造解析	岡本 裕一	富士写真フイルム(株)	日本	BL01B1	6
2004B0564-NL1-np	酸性型バクテリオロドプシンのX線結晶構造解析	神山 勉	名古屋大学	日本	BL38B1	3
2004B0565-ND1d-np	強誘電体薄膜のドメインスイッチングのその場観察	舟窪 浩	東京工業大学	日本	BL13XU	12
2004B0567-NL2b-np	時分割SAXSを用いたフィラー充填ゴムの粘弾性特性のメカニズムの解析1	雨宮 慶幸	東京大学	日本	BL20XU	18
2004B0569-NL2b-np	時分割SAXSを用いたフィラー充填ゴムの粘弾性特性のメカニズムの解析2	雨宮 慶幸	東京大学	日本	BL40B2	13
2004B0570-NI-np	ゴム中のファイバーの三次元構造の解析	岸本 浩通	SRI研究開発(株)	日本	BL47XU	12
2004B0572-NSa-np	延伸下での共架橋ゴム中のアクリル酸亜鉛の構造解析	岸本 浩通	SRI研究開発(株)	日本	BL43IR	12
2004B0573-CD2a-np	ウラン金属間化合物の量子臨界点付近での格子定数の精密測定	赤澤 輝彦	神戸大学	日本	BL10XU	9
2004B0574-ND2b-np	川井式装置による超高压の発生と圧力定点の開発	伊藤 英司	岡山大学	日本	BL04B1	15
2004B0575-ND3c-np	任意偏光X線生成システムと新しいX線多波力学理論によるシリコン結晶の超精密構造解析	沖津 康平	東京大学	日本	BL09XU	12
2004B0580-NXa-np	機能性酸化物中の超微量Inドーパントの局所環境解析	田中 功	京都大学	日本	BL01B1	9
2004B0581-NL2b-np	RE123超伝導薄膜中の濃度揺らぎの定量評価によるピンニングメカニズムの解明	松本 要	京都大学	日本	BL40B2	6
2004B0585-NL2b-np	Zr基バルクガラス合金における準結晶出前駆構造変化の異常小角・中角散乱測定による検討	奥田 浩司	京都大学	日本	BL40B2	8
2004B0586-ND1a-np	種々の酸素分圧下における部分溶解後α-Bi ₂ Pb ₂ O ₇ 超伝導相再形成過程の高温下でのその場観察	長村 光造	京都大学	日本	BL02B1	12
2004B0588-NI-np	極小角X線散乱法による高分子繊維の構造に関する研究	村瀬 浩貴	(株)東洋紡総合研究所	日本	BL19B2	6
2004B0589-NSb-np	軟X線照射によるアミノ酸の化学進化の光量子効率	中川 和道	神戸大学	日本	BL23SU	6
2004B0590-NSc-np	カイラル無機結晶の軟X線自然円二色性	中川 和道	神戸大学	日本	BL25SU	6
2004B0593-ND1c-np	菱面体晶ボロンおよびその派生結晶の結合評価	木村 薫	東京大学	日本	BL02B2	3
2004B0595-ND1c-np	酸化物メルトの過冷却状態の構造と物性	渡辺 匡人	学習院大学	日本	BL04B2	9
2004B0597-ND3d-np	On the relation of Boson peak to the high-frequency propagating excitation in silica glass below and above the glass transition temperature	細川 伸也	広島工業大学	日本	BL35XU	15
2004B0598-NL1-np	L 乳酸酸化酵素の結晶構造解析	森本 幸生	京都大学	日本	BL38B1	3
2004B0601-NSa-np	CeTe ₂ におけるCDWフェルミ面の高分解能軟X線角度分解光電子分光	伊藤 孝寛	自然科学研究機構	日本	BL25SU	12
2004B0603-ND1b-np	新奇機能性有機分子・カーボンナノチューブ複合体の合成と構造	竹延 大志	東北大学	日本	BL02B2	6
2004B0607-ND2a-np	BeOの高圧相の状態方程式	森 嘉久	岡山理科大学	日本	BL10XU	9
2004B0608-NL3-np	X線マイクロトモグラフィを用いたマグマ溜りの浸透性の研究	中村 美千彦	東北大学	日本	BL47XU	6
2004B0613-ND2b-np	X線マイクロトモグラフィを用いた下部マントル起源のダイヤモンドの包有物のイメージング	鍵 裕之	東京大学	日本	BL20XU	6
2004B0622-NL3-np	微小血管造影による脳虚血後の新生血管とVEGFの効果の観察	大川 元久	川崎医科大学	日本	BL28B2	12
2004B0623-NL3-np	大視野3次元マイクロCTを用いたラットの脳虚血後の血管新生の立体的な検討	大川 元久	川崎医科大学	日本	BL20B2	4
2004B0625-NL1-np	Mスカルリン性アセチルコリン受容体M2サブタイプのX線結晶構造解析	山田 進	学習院大学	日本	BL38B1	3
2004B0626-NXb-np	量子井戸からのX線励起発光検出によるX線ホログラフィー測定	林 好一	東北大学	日本	BL37XU	9
2004B0629-ND1c-np	液体S-Ci混合系における分子内・分子間相関	川北 至信	九州大学	日本	BL04B2	9
2004B0632-ND3d-np	強い分子間相関を有する分子性液体の緩和機構の研究	川北 至信	九州大学	日本	BL35XU	15
2004B0635-ND3d-np	Collective and localized excitations in supercritical methanol	山口 敏男	福岡大学	日本	BL35XU	15
2004B0639-ND3d-np	X線発光分光によるCe(Fe _{0.8} Co _{0.2}) ₂ の反強磁性・強磁性転移の研究	七尾 進	東京大学	日本	BL37XU	18
2004B0640-ND1a-np	一軸応力による高温超伝導と電荷ストライプ秩序の競合共存状態のコントロール	木村 宏之	東北大学	日本	BL02B1	18
2004B0641-ND1b-np	フェロセン・アントラキノン-1,4位接合錯体の粉末X線回折による構造解析	西原 寛	東京大学	日本	BL02B2	3
2004B0642-NSa-np	コバルト酸化物超伝導体の高エネルギー角度分解光電子分光	佐藤 宇史	東北大学	日本	BL25SU	9
2004B0643-NI-np	平滑基板表面に分散された貴金属ナノ粒子のXAFS	住田 弘祐	マツダ(株)	日本	BL01B1	6
2004B0644-ND2b-np	含水玄武岩と含水カンラン岩の相転移境界と転移速度の決定	大谷 栄治	東北大学	日本	BL04B1	12
2004B0645-ND2b-np	MgO-FeO系の高圧下における相転移	近藤 忠	東北大学	日本	BL10XU	9
2004B0646-ND2b-np	高温高圧下におけるモデル玄武岩マグマの構造	鈴木 昭夫	東北大学	日本	BL04B1	6
2004B0647-ND2b-np	18GPaまでのFeS融体の粘性測定	寺崎 英紀	東北大学	日本	BL04B1	9
2004B0648-NM-np	デンドライト間流動に起因するマクロ偏析形成過程の直接観察	大中 逸雄	大阪産業大学	日本	BL20B2	10
2004B0656-NXa-np	XAFSによる核燃料廃棄物中の長半減期核種の固定化現象の解析	中川 貴	大阪大学	日本	BL01B1	6
2004B0657-NX-p	シンクロトロン放射光蛍光X線による証拠物件中の微量元素分析	鈴木 康弘	警察庁科学警察研究所	日本	BL37XU	6
2004B0660-NI-np	遮熱コーティングのセラミック層内部応力に対する金属接合層材質の効果	宮下 卓也	(財)新産業創造研究機構	日本	BL19B2	6
2004B0661-ND2b-np	上下マントル境界における原子の拡散特性変化	久保 友明	九州大学	日本	BL04B1	12
2004B0662-NXb-np	個別エアロゾルの蛍光X線、マイクロディフラクション同時測定	早川 慎二郎	広島大学	日本	BL37XU	12
2004B0665-NSc-np	高圧下Pt-L23端X線MCDによるFePt規則合金の磁気異方性に着目した磁性の研究	石松 直樹	広島大学	日本	BL39XU	12
2004B0666-NI-p	溶融塩電解共析法開発のためのXAFS解析	松浦 治明	東京工業大学	日本	BL19B2	1
2004B0668-NXa-np	フッ化バリウム系溶融塩の短範囲構造解析	松浦 治明	東京工業大学	日本	BL01B1	6
2004B0669-NI-np	鋳造部品における微小欠陥測定	尾角 英毅	川崎重工(株)	日本	BL19B2	3
2004B0671-NL3-np	X線CTによる非対称なウェーブリップルの三次元粒子配列解析	横川 美和	大阪工業大学	日本	BL20B2	6

課題番号	課題名	実験責任者	所属	国名	BL	難シド値
2004B0673-ND2a-np	量子相転移の機構解明を目指した低温高圧下における精密構造解析	加賀山 朋子	大阪大学	日本	BL10XU	12
2004B0674-ND1b-np	水溶性アカリックスアレーンを配位子とするタングステンカルコゲド錯体の微小結晶構造解析	赤司 治夫	岡山理科大学	日本	BL04B2	6
2004B0675-NI-np	微小角入射X線散乱を用いたポリイミド分子鎖のラビングによる挙動に関する検討	成田 憲昭	チッソ石油化学(株)	日本	BL19B2	9
2004B0676-NI-np	廃棄物焼却残渣安全化技術のメカニズム解明のための微量成分存在形態の同定	谷山 教幸	川崎重工(株)	日本	BL01B1	6
2004B0680-ND-p	リチウム二次元電池の長期試験後の正極材料の構造変化の解析	小林 弘典	(独)産業技術総合研究所	日本	BL02B2	2
2004B0681-ND1a-np	MEM法を用いた層状マンガンニッケル系電極材料のリチウム脱離に伴う構造変化の解明	小林 弘典	(独)産業技術総合研究所	日本	BL02B2	3
2004B0682-NSa-np	シリカ鉱物の高圧下での遠赤外分光	篠田 圭司	大阪市立大学	日本	BL43IR	9
2004B0684-ND1c-np	Zr ₇₀ M ₃₀ 金属ガラスの20面体クラスター構造と熱安定性 (BL02B1)	松原 英一郎	東北大学	日本	BL02B1	8
2004B0685-ND1c-np	Zr-Cu金属ガラス・融体の短距離構造解析	才田 淳治	東北大学	日本	BL02B1	7
2004B0686-ND1c-np	Pd基金属ガラスにおけるMHz振動歪場誘起準安定ガラス構造解析	市坪 哲	東北大学	日本	BL02B1	9
2004B0688-NI-np	希土類オキシ塩化物を含むNaCl-2CsCl電解浴の構造解析	明珍 宗孝	核燃料サイクル開発機構	日本	BL19B2	6
2004B0689-ND1a-np	環境調和型リチウム誘電体のBサイトイオン配列秩序と電子密度分布およびソフトモードとの関連	田畑 仁	大阪大学	日本	BL02B2	3
2004B0691-NI-p	特殊形状固体酸化物燃料電池セルの残留応力測定	矢加部 久孝	東京ガス(株)	日本	BL09XU	3
2004B0692-NL3-np	単色X線を用いた悪性腫瘍に対する経動脈的寒性術およびエタノール局所注入後の再発、腫瘍血管新生に関する基礎的研究	今井 茂樹	川崎医科大学	日本	BL20B2	9
2004B0697-NI-np	放射光による塗装鋼材の塗膜密着性に及ぼす塗膜残留応力の作用機構に関する研究	石塚 清和	新日本製鐵(株)	日本	BL19B2	9
2004B0698-ND2b-np	高温高圧下における液体硫黄の密度測定法の開発	野澤 暁史	(財)高輝度光科学研究センター	日本	BL04B1	6
2004B0699-NXa-np	超音波還元Au-Pdナノ粒子の内部構造のXAFSによる研究	谷口 良一	大阪府立大学	日本	BL01B1	3
2004B0701-ND1c-np	Zr ₇₀ M ₃₀ 金属ガラスの20面体クラスター構造と熱安定性 (BL04B2)	松原 英一郎	東北大学	日本	BL04B2	3
2004B0703-ND1d-np	X線マイクロ回折による歪Si/SiGe/Siヘテロ構造の局所的歪揺らぎの検出	酒井 朗	名古屋大学	日本	BL46XU	15
2004B0706-NM-np	X線位相CTによるPS/PMMAポリマーブレンド相分離の観察	百生 敦	東京大学	日本	BL20XU	18
2004B0707-ND3a-np	CeSb強磁性相のCe電子の運動量分布決定のための新手法を加味した円偏光切換え磁気コンプトン散乱実験	坂井 信彦	兵庫県立大学	日本	BL08W	9
2004B0708-NL2a-np	膜タンパク質の動的1分子計測	佐々木 裕次	(財)高輝度光科学研究センター	日本	BL44B2	12
2004B0709-NL2a-np	高速X線1分子計測の検討	佐々木 裕次	(財)高輝度光科学研究センター	日本	BL40XU	9
2004B0712-NSa-np	赤外分光法によるチトクロムc酸化酵素の構造ダイナミックスの追跡	小倉 尚志	兵庫県立大学	日本	BL43IR	12
2004B0715-NXb-np	タバコとイネに高濃度に蓄積したCdの細胞レベルの蛍光X線マイクロイメージング	中井 泉	東京理科大学	日本	BL37XU	12
2004B0717-NXb-np	高エネルギーX線を利用した蛍光X線分析システムの検討	寺田 靖子	(財)高輝度光科学研究センター	日本	BL20XU	6
2004B0718-NXb-np	極微小試料用蛍光X線および粉末回折装置の開発	寺田 靖子	(財)高輝度光科学研究センター	日本	BL37XU	12
2004B0719-NI-np	X線CT像によるセメント水和組織の空隙構造の観察	人見 尚	(株)大林組	日本	BL47XU	9
2004B0720-NM-np	衛星搭載用軟X線反射鏡の光学定数の測定	小賀坂 康志	名古屋大学	日本	BL15XU	6
2004B0722-ND3d-np	非双晶化した高温超伝導物質YBCOの格子振動異常の温度変化の研究	福田 竜生	日本原子力研究所	日本	BL35XU	18
2004B0724-NM-np	線減弱係数の精密測定	上杉 健太郎	(財)高輝度光科学研究センター	日本	BL20B2	9
2004B0725-NL1-np	酸素反応の直接観察を目指したエンドポリガラクトナーゼのSubatomic Resolution X線結晶構造解析	中津 亨	京都大学	日本	BL41XU	6
2004B0726-ND2a-np	電荷秩序Sm ₂ Bi ₃ 化合物の低温・高圧下で低温構造相転移の研究	小林 寿夫	兵庫県立大学	日本	BL10XU	9
2004B0727-ND3b-np	高圧下・低温 ¹⁵¹ Eu核共鳴前方散乱による電荷秩序Eu ₄ As ₃ 化合物の電子状態研究	小林 寿夫	兵庫県立大学	日本	BL09XU	15
2004B0730-ND3d-np	Dynamics in Pb-Sn eutectic	Baron Alfred	(財)高輝度光科学研究センター	日本	BL35XU	18
2004B0731-NXa-np	ペロブスカイト型自動車排ガス浄化触媒の自己再生のダイナミックスIV	西畑 保雄	日本原子力研究所	日本	BL28B2	12
2004B0734-ND3a-np	バルク金属ガラスの電子運動量密度分布測定	岡田 純平	東京大学	日本	BL08W	9
2004B0736-ND3d-np	Optical phonon softening in superconducting diamond	Hoesch Moritz	日本原子力研究所	日本	BL35XU	12
2004B0737-ND3a-np	Field Dependent Studies of Insulator-Metal Transitions in Eu _{0.58} Sr _{0.42} MnO ₃	Duffy Jonathan	University of Warwick	UK	BL08W	15
2004B0738-NXa-np	nano-XAFS実験技術の開発：硬X線を用いた光電子顕微鏡(HXPEEM)の新たな利用法	小嗣 真人	広島大学	日本	BL39XU	15
2004B0742-ND1b-np	重合Li _x C ₆₀ の構造変化	小林 本忠	兵庫県立大学	日本	BL02B2	3
2004B0744-ND1c-np	トポロジカル結晶の構造解析とCDW変調	丹田 聡	北海道大学	日本	BL02B1	9
2004B0745-ND1d-np	単結晶基板への強磁性ナノ細線配列のエピタキシャル成長法の検討	新宮原 正三	広島大学	日本	BL13XU	12
2004B0748-NSa-np	高エネルギー軟X線用偏光素子の開発	木村 洋昭	(財)高輝度光科学研究センター	日本	BL27SU	6
2004B0749-ND3b-np	Structural phase information in synchroscopically detected nuclear resonance Bragg-scattering of neutron radiation	Bottyan Laszlo	KFKI Research Institute for Particle and Nuclear Physics	Hungary	BL09XU	12
2004B0750-NL1-np	微小蛋白質結晶測定のためのビームプロファイルの最適化	清水 伸隆	(財)高輝度光科学研究センター	日本	BL41XU	6
2004B0751-ND1c-np	177keV高エネルギーX線および逆モンテカルロ法を用いたNi ₂ Pt ₂ P ₂ 金属ガラスの短・中距離構造解析	小原 真司	(財)高輝度光科学研究センター	日本	BL08W	9
2004B0752-ND1c-np	特異な構造を持つかんらん石組成ガラスのダイナミックス	小原 真司	(財)高輝度光科学研究センター	日本	BL35XU	9
2004B0754-NM-np	溶液界面反射率測定装置の開発と立ち上げ	宇留賀 朋哉	(財)高輝度光科学研究センター	日本	BL37XU	9
2004B0755-ND1d-np	熱処理による結晶性高分子固体膜表面近傍におけるナノ構造変化の解明	佐々木 園	(財)高輝度光科学研究センター	日本	BL13XU	9
2004B0756-NL2b-np	直鎖状脂肪酸ポリエステルの一次構造とラメラ凝集構造の相関性の解明	佐々木 園	(財)高輝度光科学研究センター	日本	BL40B2	6
2004B0758-ND1b-np	配向カーボンナノチューブによる内包物質系の研究	真庭 豊	東京都立大学	日本	BL02B2	9
2004B0759-NL2a-np	大型二次元カメラを用いた高分解能粉末X線回折データによる蛋白質・リガンド複合体構造解析の検討(II)	三浦 圭子	(財)高輝度光科学研究センター	日本	BL40XU	9
2004B0763-ND1a-np	Study of an origin of negative thermal expansion of high temperature superconducting copper oxides under high pressure and low temperature	Titova Svetlana	Russian Academy of Science	Russia	BL10XU	6
2004B0764-ND2a-np	超高压下でのLiHの結晶構造の電子状態の観察	大石 泰生	(財)高輝度光科学研究センター	日本	BL10XU	3

PRESENT STATUS OF SPring-8

課題番号	課題名	実験責任者	所属	国名	B L	実施シフト数
2004B0765-CD1c-np	Structure of antimony borate glasses and of amorphous antimony oxide (continuation)	Hannon Alex	ISIS Facility	UK	BL04B2	9
2004B0767-NL3-np	代謝症候群における脳血管の反応性とアディポネクチンの作用に関する研究	櫻井 孝	神戸大学	日本	BL28B2	12
2004B0770-NL3-np	マイクロビームX線を用いた皮膚炎を生じた生きたヘアレスマウスの皮膚最外層中にある細胞間脂質構造の研究	太田 昇	(財)高輝度光科学研究センター	日本	BL40XU	12
2004B0771-ND1d-np	structure of Rare-Earth nanowires	Walker Christopher	(財)高輝度光科学研究センター	日本	BL13XU	9
2004B0772-ND1a-np	Ba(Ti,Zr)O ₃ 系における構造相転移とリラクサー挙動	川路 均	東京工業大学	日本	BL02B2	3
2004B0774-NSc-np	Pt (997)ステップ表面上に形成した金属原子による1次元ナノ構造のXMCD測定	白木 将	東京大学	日本	BL25SU	6
2004B0775-ND1b-np	ナノ細孔を有する超プロトン伝導性配位高分子の構造解析	北川 宏	九州大学	日本	BL02B2	6
2004B0777-NL1-np	tRNAスプライシング関連酵素の結晶構造解析	別所 義隆	(独)理化学研究所	日本	BL41XU	3
2004B0778-NL1-np	リボソームのX線結晶構造解析	末次 京子	(独)理化学研究所	日本	BL41XU	9
2004B0781-NL2a-np	収縮状態でのsuper fast myosin の構造解析	山口 眞紀	東京慈恵会医科大学	日本	BL45XU	8
2004B0782-ND3c-np	高分解能放射光トポグラフィーによるSiC単結晶基板表面の転移観察	加藤 智久	(独)産業技術総合研究所	日本	BL20B2	9
2004B0783-ND3b-np	アパランシェ・ダイオードアレイ電子検出器によるAu197-NEET確率の精密測定	岸本 俊二	高エネルギー加速器研究機構	日本	BL09XU	18
2004B0890-UL-p	疾患関連蛋白質及びその制御化合物の単結晶、共結晶の構造解析	千葉 健一	エーザイ(株)	日本	BL41XU	4
2004B0891-RI-np	中国及び日本産の青銅鏡の蛍光分析	外山 潔	(財)泉屋博古館	日本	BL19B2	6
2004B0894-RI-p	高炭素鋼伸線材の結晶構造解析	谷山 明	住友金属工業(株)	日本	BL19B2	6
2004B0899-RI-np	In situ XAFSによるPt合金触媒の構造および電子状態解析	今井 英人	日本電気(株)	日本	BL19B2	9
2004B0903-RI-np	In ₂ Sb _{1-x} (X<0.5)合金における中距離構造の解析	岩田 周行	(株)リコー	日本	BL19B2	3
2004B0905-RI-np	非晶質HfO ₂ 薄膜の動径分布関数測定	廣沢 一郎	(財)高輝度光科学研究センター	日本	BL19B2	5
2004B0911-RI-np	屈折コントラスト法による燃料電池中の水のその場観察	野間 敬	キヤノン(株)	日本	BL19B2	6
2004B0913-RI-p	熔融塩電解共析法開発のためのXAFS解析	松浦 治明	東京工業大学	日本	BL19B2	1
2004B0914-RI-np	セリウム金属析出反応のXAFSによるその場観察	松浦 治明	東京工業大学	日本	BL19B2	3
2004B0915-RI-np	レーザー照射材表面の残留応力深さ分布の高温非破壊測定	佐野 雄二	(株)東芝	日本	BL19B2	9
2004B0918-RI-np	表面結晶化度の液晶配向性に与える影響	酒井 隆宏	日産化学工業(株)	日本	BL19B2	9
2004B0921-US-p	シンクロトロン放射光による微量分析	中西 俊雄	兵庫県警察本部	日本	BL37XU	3
2004B0922-UX-p	相変化光記録材料の局所構造の解析	三浦 裕司	(株)リコー	日本	BL01B1	1
2004B0923-UX-p	X線吸収分光法を用いた燃料電池等固体電気化学デバイス構成材料の特性評価法の研究	蔭山 博之	(独)産業技術総合研究所	日本	BL01B1	2
2004B0924-UI-p	高分解能X線イメージング法を用いたゴム中のフィラー観察	岸本 浩通	SRI研究開発(株)	日本	BL20XU	1
2004B0925-RL1-np	リソソーム酵素・N-acetylgalactosaminidaseと阻害剤deoxygalactonojirimycin複合体のX線結晶構造解析	藤澤 郁英	豊橋技術科学大学	日本	BL38B1	2
2004B0926-RL1-np	X線結晶構造解析による抗生物質amphotericin Bと標的分子ergosterol複合体の研究	藤澤 郁英	豊橋技術科学大学	日本	BL38B1	1
2004B0927-USa-np	立体原子写真を用いたB-doped Diamandoのポロンドープサイト及び成長機構の研究	大門 寛	奈良先端科学技術大学院大学	日本	BL25SU	3
2004B0928-UD1b-np	内包フラーレンAr@C60の粉末X線構造解析	高木 英典	東京大学	日本	BL02B2	3
2004B0929-RL1-np	抗生物質バンコマイシン・ペプチド複合体およびリソソーム酵素のX線結晶構造解析	藤澤 郁英	豊橋技術科学大学	日本	BL38B1	3
2004B0937-US-p	シンクロトロン放射光による微量元素分析	中西 俊雄	兵庫県警察本部	日本	BL37XU	6
2004B0938-UD-p	リチウム二次電池の長期試験後の正極材料の構造変化の解析	小林 弘典	(独)産業技術総合研究所	日本	BL02B2	2
2004B0939-RL1-np	緑膿菌由来セラミド分解酵素セラミダーゼのセレノメチオニン置換体を用いたMAD法による結晶構造解析	井上 豪	大阪大学	日本	BL41XU	3
2004B0941-RL1-np	好熱菌膜結合型メタロプロテアーゼFtsHのX線結晶構造解析	土屋 大輔	技術研究組合生物分子工学研究所	日本	BL38B1	3
2004B0942-RL1-np	免疫細胞を制御する、細胞表面レセプターLIR9及びHLA-Gの構造解析	神田 大輔	九州大学	日本	BL38B1	3
2004B0943-RL1-np	糖脂質硫酸転移酵素のX線結晶構造解析	角田 佳充	九州大学	日本	BL41XU	3
2004B0944-RL1-np	X線結晶構造解析による抗生物質amphotericin Bと標的分子ergosterol複合体の研究	藤澤 郁英	豊橋技術科学大学	日本	BL38B1	3
2004B0945-US-p	シンクロトロン放射光による微量元素分析	中西 俊雄	兵庫県警察本部	日本	BL37XU	3
					総シフト数	3731.125

表3-2 第14回共同利用において実施された重点ナノテクノロジー支援課題一覧

課題番号	課題名	実験責任者	所属	国名	BL	ビーム数
2004B0013-NL3-np-Na	肥満細胞における免疫反応と微量元素の動態の解析	白川 太郎	京都大学	日本	BL37XU	9
2004B0015-NSa-np-Na	超熱O ₂ 分子線によるCu ₃ Auナノ表面酸化膜の作製と光電子分光による評価	笠井 俊夫	大阪大学	日本	BL23SU	6
2004B0024-NSa-np-Na	超熱原子酸素ビームにより室温酸化したシリコンナノ酸化膜の表面構造解析	田川 雅人	神戸大学	日本	BL23SU	4.5
2004B0088-ND1c-np-Na	Formation of nanocrystals and structural phase transitions of amorphous KNbO ₃ -GeO ₂ -SiO ₂	Yang Yongsuk	Pusan National university	Korea	BL02B2	6
2004B0090-ND1d-np-Na	非平衡相からのナノ粒子の出現機構 - X線異常散乱法の適用 -	鈴木 茂	東北大学	日本	BL15XU	9
2004B0153-ND3b-np-Na	¹¹⁹ Sn核共鳴散乱法を用いた金属ナノ変調多層膜における電子スピンの検出	壬生 攻	京都大学	日本	BL11XU	15
2004B0194-ND1b-np-Na	二核銅錯体の分子カラム間距離制御に対する溶媒包接の構造物性	長谷川 美貴	青山学院大学	日本	BL02B2	6
2004B0225-ND1d-np-Na	時間分解X線回折による成長中断中のInAs量子ドットの構造変化の解析	山口 浩一	電気通信大学	日本	BL11XU	12
2004B0251-NSc-np-Na	貴金属で挟まれた鉄単原子層における磁区構造と磁気状態	今田 真	大阪大学	日本	BL25SU	6
2004B0293-NSc-np-Na	軟X線MCDによる金属磁性元素内包フラーレンの磁化解析	篠原 久典	名古屋大学	日本	BL25SU	9
2004B0303-NXa-np-Na	選択的X線発光・吸収分光法によるヘマタイト・イルメナイト系固溶体薄膜の電子構造解析	藤井 達生	岡山大学	日本	BL15XU	9
2004B0304-NSa-np-Na	ヘマタイト・イルメナイト多層膜の深さ選択的XPS測定	藤井 達生	岡山大学	日本	BL15XU	9
2004B0327-ND1b-np-Na	多孔性配位高分子のナノ空間中での水素分子の特異的凝集状態の直接観測	北川 進	京都大学	日本	BL02B2	9
2004B0372-ND1d-np-Na	X線共鳴散乱法によるIII-V族化合物半導体ナノ周期構造の評価	小柴 俊	香川大学	日本	BL13XU	9
2004B0380-NSc-np-Na	走査型XCD顕微鏡によるゲート単結晶薄膜(HoTbBi) ₂ FeO ₇ の磁区構造の元素別磁気イメージング	高垣 昌史	(財)高輝度光科学研究センター	日本	BL39XU	21
2004B0410-NXa-np-Na	XAFS study of structural changes under hydrostatic pressure in Ge-Sb-Te alloy used in near-field recording with nanometer size marks	Kolobov Alexander	(独)産業技術総合研究所	日本	BL14B1	5.75
2004B0411-NSa-np-Na	Bulk ESCA and Valence Band measurements of Ge-Sb-Te based Optical Memory Alloys	Fons Paul	(独)産業技術総合研究所	日本	BL15XU	6
2004B0418-ND1d-np-Na	表面X線回折法を用いた単結晶リチウム電池正極材料表面の精密構造解析	菅野 了次	東京工業大学	日本	BL14B1	15
2004B0419-ND3b-np-Na	核共鳴散乱による鉄貯蔵蛋白質フェリチンと鉄原子の相互作用の研究	春木 理恵	高エネルギー加速器研究機構	日本	BL11XU	12
2004B0422-ND1d-np-Na	ダイヤモンド単結晶電極C(111)の表面X線構造解析	伊藤 正時	慶應義塾大学	日本	BL13XU	12
2004B0438-ND1d-np-Na	カーボンナノチューブ高密度成長のための触媒微粒子結晶構造の解明	栗野 祐二	(株)富士通研究所	日本	BL13XU	9
2004B0449-NSa-np-Na	室温希薄強磁性半導体Ga _{1-x} Cr _x Nの軟X線磁気二色性および共鳴光電子分光による研究	藤森 淳	東京大学	日本	BL23SU	14
2004B0452-NSa-np-Na	ナノチューブ成長用触媒金属のSi清浄表面および酸化膜表面における反応過程のSPELEEMによる研究	前田 文彦	NTT物性科学基礎研究所	日本	BL27SU	12
2004B0500-NSa-np-Na	硬X線光電子分光による強相関電子系強磁性酸化物(LaBaMnO ₃ (Fe,Mn ₂ O) ₇)ナノ薄膜の電子状態評価	田中 秀和	大阪大学	日本	BL47XU	6
2004B0501-NI-np-Na	高分解能高エネルギーX線光電子分光による次世代半導体プロセス用極浅プラズマドーピング層の化学状態の評価	金 成国	(株)コー・ジェー・ティー・ラボ	日本	BL47XU	6
2004B0502-NSa-np-Na	軟X線光電子分光による極薄ゲート絶縁膜/シリコン界面遷移層の深さ方向分析	服部 健雄	武蔵工業大学	日本	BL27SU	15
2004B0503-NSa-np-Na	硬X線光電子分光による高誘電率ゲート絶縁膜/シリコン界面遷移層の深さ方向分析	服部 健雄	武蔵工業大学	日本	BL47XU	12
2004B0515-ND1d-np-Na	分子エレクトロニクス素子における電極表面構造に関する研究	魚崎 浩平	北海道大学	日本	BL14B1	3
2004B0523-NSc-np-Na	Au(788)微傾斜表面上の遷移金属ナノ構造における磁気構造: II	川合 真紀	(独)理化学研究所	日本	BL25SU	18
2004B0527-ND1d-np-Na	マイクロ流体リアクターで合成したコア/シェル型蛍光ナノクリスタルの構造解析	上原 雅人	(独)産業技術総合研究所	日本	BL02B2	3
2004B0536-ND2a-np-Na	Bi ₂ MnNiO ₇ の高圧下生成、融解、結晶化その場観察	東 正樹	京都大学	日本	BL14B1	6
2004B0544-ND1b-np-Na	チオール化カーボンナノチューブに担持された白金クラスターの熱処理によるin-situ構造変化解析	三谷 忠興	北陸先端科学技術大学院大学	日本	BL02B2	6
2004B0561-NSc-np-Na	表面および強磁性、反強磁性金属との界面におけるNiO反強磁性磁区ドメイン構造の観察	奥田 太一	東京大学	日本	BL27SU	9
2004B0566-NSa-np-Na	アルタイムXPSを用いたアルミ酸化膜形成における水素触媒機構の解明	福谷 克之	東京大学	日本	BL23SU	6
2004B0582-ND1d-np-Na	異常GI-SAXSによる埋め込まれたGeナノドットのRTA処理に伴う構造変化の解明	奥田 浩司	京都大学	日本	BL13XU	5.75
2004B0591-NSb-np-Na	内殻電子励起によるSb-Te系合金薄膜の構造改質	谷 克彦	(株)リコー	日本	BL15XU	6
2004B0609-NSa-np-Na	高エネルギー光電子分光によるCrを添加したGaN電子構造の温度依存性	牧野 久雄	東北大学	日本	BL22XU	6
2004B0614-ND1d-np-Na	GaAs硫黄原子終端面上の閃亜鉛鉱型MnAsナノドットの形成メカニズムと歪みの相関	岡林 潤	東京大学	日本	BL11XU	15
2004B0616-ND1c-np-Na	リチウムイオン2次電池用固体電解質の結晶化課程の観察	島川 祐一	京都大学	日本	BL02B2	6
2004B0618-NSc-np-Na	立方体形状FePtナノ微粒子の磁気的特性の軟X線磁気円二色性による研究	山本 真平	京都大学	日本	BL25SU	6
2004B0619-ND1d-np-Na	精密結晶構造解析によるFePtナノ微粒子の構造 - 磁気特性相関の解明	山本 真平	京都大学	日本	BL02B2	3
2004B0620-NSc-np-Na	立方体形状FePtナノ微粒子の磁気的特性の硬X線磁気円二色性による研究	山本 真平	京都大学	日本	BL39XU	9
2004B0633-NSa-np-Na	超音速素分子ビームを用いたTi表面窒化の反応ダイナミクス	高桑 雄二	東北大学	日本	BL23SU	9
2004B0649-NM-np-Na	偏晶系凝固と塑性加工を利用したマイクロ・ナノポーラス材料創成のための3次元構造解析	安田 秀幸	大阪大学	日本	BL47XU	12
2004B0653-NXa-np-Na	触媒頻用金属(銀、白金族)のX線蛍光分光による価電子状態解析	伊藤 嘉昭	京都大学	日本	BL15XU	9
2004B0683-ND1b-np-Na	次元性の観点からのC60ナノイスカーの構造解析	谷垣 勝己	東北大学	日本	BL02B2	6
2004B0687-NSc-np-Na	Coドットアレー/ Si(111)の磁性およびマジックサイズ依存性	木村 昭夫	広島大学	日本	BL25SU	9
2004B0700-NXa-np-Na	超音波還元Au-Ptナノ微粒子のXAFSによる研究	岩瀬 彰宏	大阪府立大学	日本	BL14B1	9
2004B0702-NI-np-Na	高エネルギーXPSによるゲート電極/ゲート絶縁膜界面の解析	竹村 モモ子	(株)東芝	日本	BL47XU	12
2004B0714-NSc-np-Na	光電子顕微鏡を用いたナノスケール元素選択磁気イメージングによる垂直磁気記録材料の研究	小野 寛太	高エネルギー加速器研究機構	日本	BL39XU	18
2004B0716-NXB-np-Na	K-Bミラーを用いたマイクロビーム蛍光X線分析システムの開発	寺田 靖子	(財)高輝度光科学研究センター	日本	BL37XU	21
2004B0721-NSa-np-Na	SPELEEMを用いたナノ構造材料の観察と新しい収差補正法を用いた高分解能光電子顕微鏡の予備実験	越川 孝範	大阪電気通信大学	日本	BL27SU	12
2004B0757-ND1d-np-Na	立体規則性の異なるポリオレフィンブレンド膜表面のナノ構造解析	里見 倫明	(株)三菱化学科学技術研究センター	日本	BL13XU	6
2004B0776-ND1b-np-Na	高密度水素吸蔵金属ナノ粒子の粉末X線回折	山内 美穂	九州大学	日本	BL02B2	3
					総ソフト数	504

表3-3 第14回共同利用において実施された重点タンパク500課題一覧

課題番号	実験責任者	所属	国名	BL	課題番号	実験責任者	所属	国名	BL
2004B0785-NL1-np-P3k	金谷 茂則	大阪大学	日本	BL38B1	2004B0849-NL1-np-P3k	田中 信夫	東京工業大学	日本	BL38B1
2004B0788-NL1-np-P3k	樋口 芳樹	兵庫県立大学	日本	BL41XU	2004B0850-NL1-np-P3k	田中 信夫	東京工業大学	日本	BL41XU
2004B0789-NL1-np-P3k	神田 大輔	九州大学	日本	BL38B1	2004B0851-NL1-np-P3k	三上 文三	京都大学	日本	BL38B1
2004B0790-NL1-np-P3k	神田 大輔	九州大学	日本	BL41XU	2004B0853-NL1-np-P3k	今田 勝巳	大阪大学	日本	BL38B1
2004B0795-NL1-np-P3k	福山 恵一	大阪大学	日本	BL38B1	2004B0854-NL1-np-P3k	今田 勝巳	大阪大学	日本	BL41XU
2004B0801-NL1-np-P3k	黒木 良太	日本原子力研究所	日本	BL38B1	2004B0858-NL1-np-P3k	森本 幸生	京都大学	日本	BL41XU
2004B0803-NL1-np-P3k	植田 正	九州大学	日本	BL38B1	2004B0859-NL1-np-P3k	神山 勉	名古屋大学	日本	BL38B1
2004B0806-NL1-np-P3k	今野 美智子	お茶の水女子大学	日本	BL41XU	2004B0864-NL1-np-P3k	後藤 勝	大阪大学	日本	BL41XU
2004B0807-NL1-np-P3k	田中 信忠	昭和大学	日本	BL38B1	2004B0866-NL1-np-P3k	近江 理恵	大阪市立大学	日本	BL41XU
2004B0810-NL1-np-P3k	虎谷 哲夫	岡山大学	日本	BL41XU	2004B0867-NL1-np-P3k	加藤 博章	京都大学	日本	BL38B1
2004B0813-NL1-np-P3k	養田 正文	東京農工大学	日本	BL38B1	2004B0868-NL1-np-P3k	加藤 博章	京都大学	日本	BL41XU
2004B0815-NL1-np-P3k	清水 敏之	横浜市立大学	日本	BL38B1	2004B0871-NL1-np-P3k	井上 豪	大阪大学	日本	BL38B1
2004B0817-NL1-np-P3k	橋本 博	横浜市立大学	日本	BL38B1	2004B0873-NL1-np-P3k	角田 佳充	九州大学	日本	BL38B1
2004B0818-NL1-np-P3k	橋本 博	横浜市立大学	日本	BL41XU	2004B0874-NL1-np-P3k	角田 佳充	九州大学	日本	BL41XU
2004B0819-NL1-np-P3k	田中 勲	北海道大学	日本	BL38B1	2004B0876-NL1-np-P3k	田之倉 優	東京大学	日本	BL41XU
2004B0820-NL1-np-P3k	田中 勲	北海道大学	日本	BL41XU	2004B0878-NL1-np-P3k	永田 宏次	東京大学	日本	BL41XU
2004B0821-NL1-np-P3k	吉田 賢右	東京工業大学	日本	BL38B1	2004B0882-NL1-np-P3k	若槻 壮市	高エネルギー加速器研究機構	日本	BL41XU
2004B0822-NL1-np-P3k	吉田 賢右	東京工業大学	日本	BL41XU	2004B0883-NL1-np-P3k	野中 孝昌	長岡技術科学大学	日本	BL38B1
2004B0831-NL1-np-P3k	安宅 光雄	(独)産業技術総合研究所	日本	BL38B1	2004B0885-NL1-np-P3k	大久保 忠恭	大阪大学	日本	BL38B1
2004B0833-NL1-np-P3k	渡邊 啓一	佐賀大学	日本	BL38B1	2004B0886-NL1-np-P3k	大久保 忠恭	大阪大学	日本	BL41XU
2004B0835-NL1-np-P3k	濡木 理	東京工業大学	日本	BL38B1	2004B0930-NL1-np-P3k	吉田 賢右	東京工業大学	日本	BL40B2
2004B0836-NL1-np-P3k	濡木 理	東京工業大学	日本	BL41XU	2004B0931-NL1-np-P3k	井上 豪	大阪大学	日本	BL40B2
2004B0837-NL1-np-P3k	三木 邦夫	京都大学	日本	BL38B1	2004B0932-NL1-np-P3k	今野 美智子	お茶の水女子大学	日本	BL40B2
2004B0838-NL1-np-P3k	三木 邦夫	京都大学	日本	BL41XU	2004B0933-NL1-np-P3k	渡邊 啓一	佐賀大学	日本	BL40B2
2004B0839-NL1-np-P3k	稲垣 冬彦	北海道大学	日本	BL38B1	2004B0934-NL1-np-P3k	片柳 克夫	広島大学	日本	BL40B2
2004B0840-NL1-np-P3k	稲垣 冬彦	北海道大学	日本	BL41XU	2004B0935-NL1-np-P3k	山縣 ゆり子	熊本大学	日本	BL40B2
2004B0847-NL1-np-P3k	山縣 ゆり子	熊本大学	日本	BL38B1	2004B0936-NL1-np-P3k	福山 恵一	大阪大学	日本	BL40B2

表3-4 第14回共同利用において実施された重点トライアルユース課題一覧

課題番号	課題名	実験責任者	所属	国名	BL	実験シフト数
2004B0111-NI-np-TU	XAFSによる新規PDP用青色蛍光体CaMgSi ₂ O ₇ :Euの発光中心周辺環境の解析	國本 崇	徳島文理大学	日本	BL01B1	3
2004B0201-NI-np-TU	放射光を用いた新規高性能ポリイミド単繊維の高応力下における結晶構造変化の測定	佐藤 和彦	帝人(株)	日本	BL46XU	9
2004B0243-NI-np-TU	磁気ディスク用フッ素系潤滑剤の吸着厚み、形態、およびその内部構造に関するX線の測定	坂根 康夫	(株)松村石油研究所	日本	BL19B2	6
2004B0329-NI-np-TU	微小角入射X線散乱によるアモルファスIZO膜の構造解析	島根 幸朗	出光興産(株)	日本	BL46XU	6
2004B0331-NI-np-TU	X線反射率測定及び反射小角散乱による液晶配向膜の評価	筒井 晶晶	日産化学工業(株)	日本	BL19B2	6
2004B0361-NI-np-TU	緑色蛍光体CSSにおけるCeイオン近傍の結晶場の解析	茂岩 統之	三菱化学(株)	日本	BL01B1	3
2004B0362-NI-np-TU	Zn添加Y ₂ O ₃ :Eu蛍光体におけるZnの局所構造解析	中西 洋一郎	静岡大学	日本	BL19B2	3
2004B0364-NI-np-TU	斜入射X線小角散乱による、Nano-Clustering Silica膜の空孔評価	淡路 直樹	(株)富士通研究所	日本	BL19B2	5.75
2004B0370-NI-np-TU	Ce賦活Gd ₂ SiO ₅ 系シチレータ材料における賦活剤および添加剤置換サイトの解析	八木 康洋	日立化成工業(株)	日本	BL01B1	6
2004B0371-NI-np-TU	燃料電池用カーボン電極材料の精密構造解析	今井 英人	日本電気(株)	日本	BL19B2	3
2004B0384-NI-np-TU	XAFS測定による酸化チタン担持金触媒の化学構造解析	斉藤 昇	(株)日本触媒	日本	BL19B2	3
2004B0493-NI-np-TU	Hfシリケート薄膜の動径分布測定	竹村 モモ子	(株)東芝	日本	BL46XU	9
2004B0617-NI-np-TU	位相コントラスト法によるリチウム電池の金属リチウム電極の観察	島川 祐一	京都大学	日本	BL19B2	3
2004B0677-NI-np-TU	銀着色したフロードガラス表面における銀および種々イオンの酸化還元状態のXAFSによる決定	滝本 康幸	旭硝子(株)	日本	BL19B2	6
2004B0690-NI-np-TU	光増幅器用Erドープガラスの局所構造の調査	笹井 淳	旭硝子(株)	日本	BL19B2	3
2004B0893-RI-np-TU	高性能偏光板開発のためのポリビニルアルコール中のヨウ素アニオンのXAFSによる構造研究	島津 彰	日東電工(株)	日本	BL19B2	3
2004B0895-RI-np-TU	ナノ結晶蛍光体をガラス中に三次元積層化した高輝度蛍光ガラスの局所構造の調査	小西 明男	日本山村硝子(株)	日本	BL19B2	3
2004B0898-RI-np-TU	XAFS法による添加物処理したMg系水素貯蔵材料の化学結合状態分析	市川 貴之	広島大学	日本	BL19B2	3
2004B0900-RI-np-TU	不溶性処理した鉛汚染土壌中の鉛のXAFSおよび粉末X線回折による形態分析	口籠 愛	(株)アステック	日本	BL19B2	9
2004B0907-RI-np-TU	酸化物蛍光体中の発光イオンEuのXAFSによる状態分析	奥本 佐登志	松下電工(株)	日本	BL19B2	6
2004B0920-RI-np-TU	Sn添加IZO薄膜のSn局所構造のXAFS解析	島根 幸朗	出光興産(株)	日本	BL19B2	6
総シフト数						104.75

表3-5 第14回共同利用において実施された重点パワーユーザー課題一覧

課題番号	課題名	実験責任者	所属	国名	B L	ビーム数	
2004B4888-PU1-np	光励起分子および光誘起現象の放射光構造解析、有機-無機複合化合物の精密構造解析 粉末結晶による精密構造物性の研究	鳥海 幸四郎	兵庫県立大学	日本	BL02B1	48	
2004B4889-PU1-np		黒岩 芳弘	岡山大学	日本	BL02B2	33	
2004B4890-PU1-np	コンプトン散乱法を用いた研究の範囲拡張に関わる実験的技術の整備および開発 核共鳴散乱法の高度化研究とそれを用いた局所電子構造・振動状態の研究 地球深部物質の構造解析	小泉 昭久	兵庫県立大学	日本	BL08W	24	
2004B4891-PU1-np		瀬戸 誠	京都大学	日本	BL09XU	48	
2004B4892-PU1-np		巽 好幸	海洋科学技術センター	日本	BL10XU	24	
						総ビーム数	177

表3-6 第14回共同利用において実施された戦略課題一覧

課題番号	課題名	実験責任者	所属	国名	B L	ビーム数	
2004B0887-S1-np	ナノコンジット材料のXAFS、粉末X線回折による評価 ナノコンジット材料の小角散乱による評価	古宮 聡	(高輝度光科学研究センター)	日本	BL19B2	9	
2004B0888-S1-np		小寺 賢	(高輝度光科学研究センター)	日本	BL40B2	24	
2004B0889-S2-np	医薬品など粉末試料回折実験の新利用技術の開発	植木 龍夫	(高輝度光科学研究センター)	日本	BL40B2	24	
						総ビーム数	57